

カムランド禪実験における ^{136}Xe の二重ベータ崩壊探索 のためのバックグラウンド評価

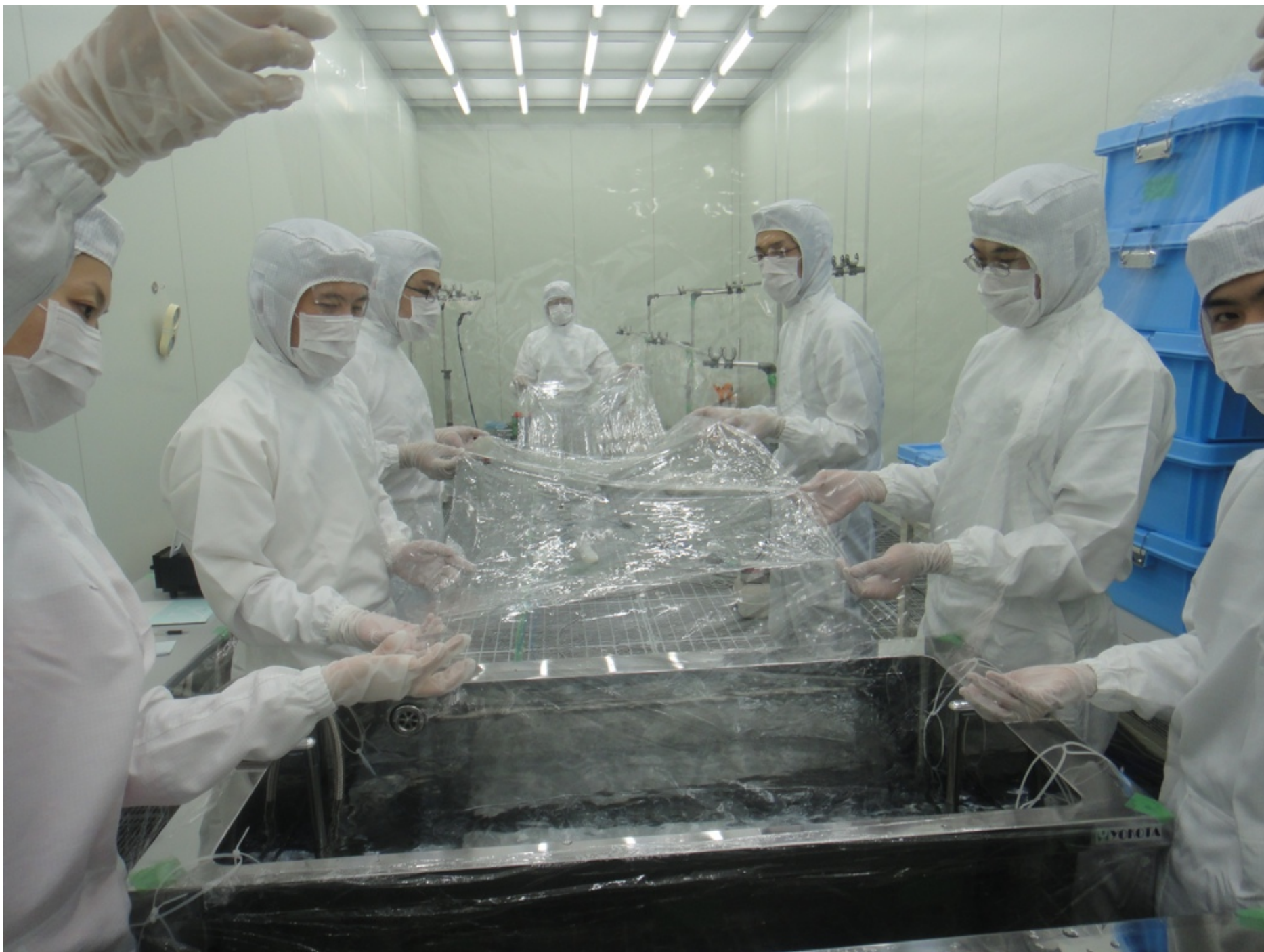
Feb. 21st. 2012

Hakuba Symposium

東北大学RCNS M1 松田さゆり



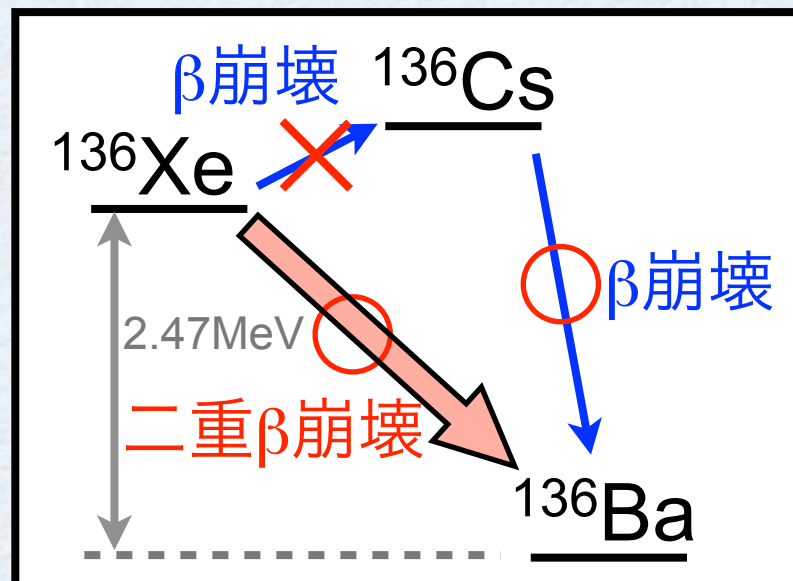
二重ベータ崩壊



二重ベータ崩壊とは

► 原子核の最も稀な崩壊過程

ex) ^{136}Xe の場合



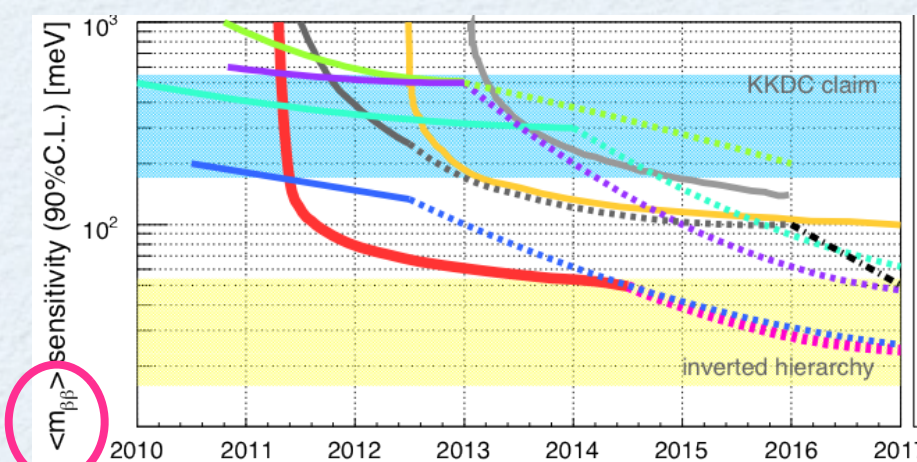
$$|\sum_i U_{ei}^2 m_{\nu_i}|$$

$0\nu\beta\beta$ 崩壊の半減期

ニュートリノ有効質量

$$\left(T_{1/2}^{0\nu}\right)^{-1} = G^{0\nu} |M^{0\nu}|^2 \langle m_{\beta\beta} \rangle^2$$

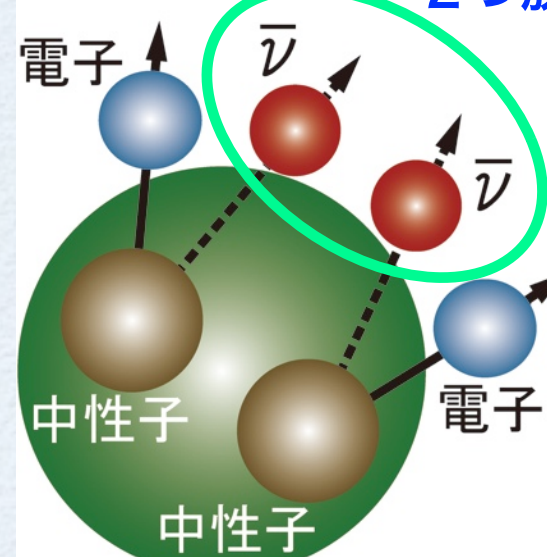
位相空間因子 核行列要素



感度
UP

► 2つの崩壊モード

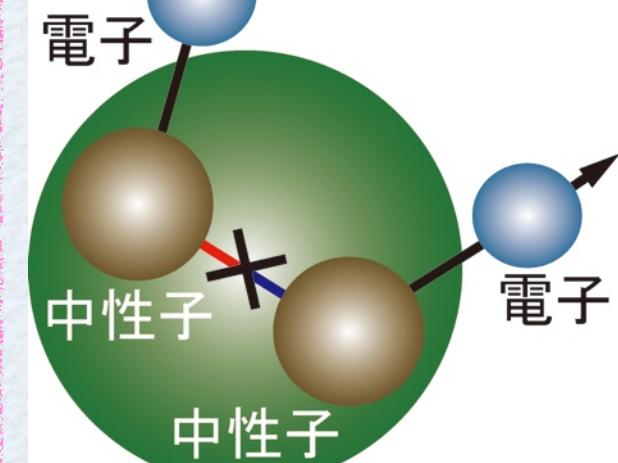
$2\nu\beta\beta$



ニュートリノを
2つ放出

$0\nu\beta\beta$

ニュートリノを
放出しない



- 標準模型では禁止

- まだ観測されていない

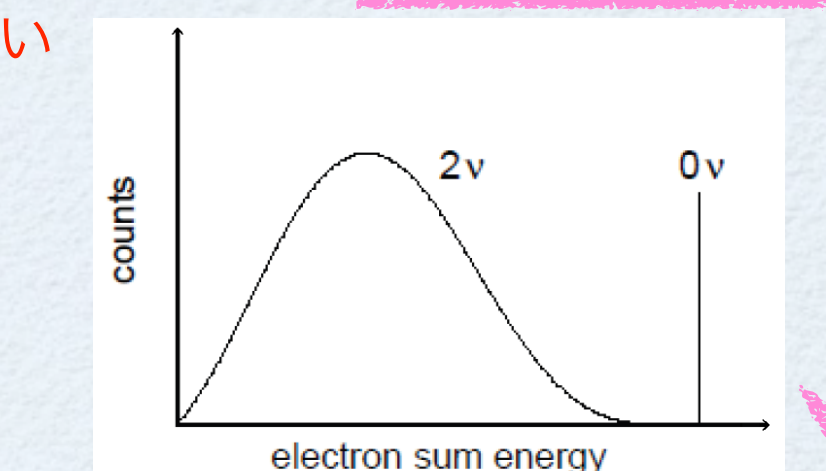
- 標準模型の枠内で可能

- 約10種類の核種で観測

- 半減期が長い

一番短くて

$\sim 10^{19}$ 年



ニュートリノのマヨラナ性の検証

ディラック粒子

$$\nu \neq \bar{\nu}$$

マヨラナ粒子

$$\nu = \bar{\nu}$$

0ν2ββから何がわかるか？

(1)ニュートリノはマヨラナ粒子である

左巻きニュートリノ

の質量

$$m_L = m_D^2 / M_R$$

~ 10^{16} GeV

大統一理論のスケール

►どちらが正しい？

^{136}Xe 2νββの半減期 $T_{1/2}^{2\nu}$

DAMA: 1.0×10^{22} yr (2002)

↑
5倍！

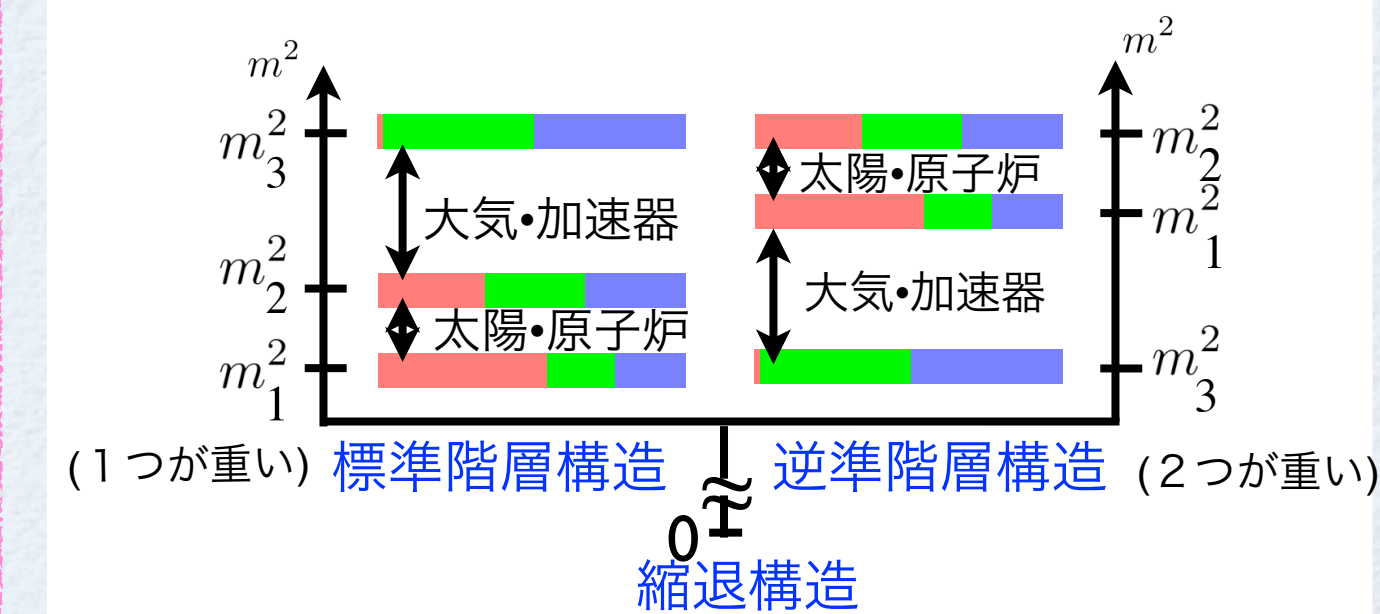
EXO: 2.11×10^{21} yr (2011)

(2)レプトン数非保存の過程

物質優勢に至るプロセスの
解明へ(レプトジェネシス)

(3)ニュートリノ有効質量の測定

質量階層構造への制限



Phys. Lett. B 546, 23(2002) : DAMA

Phys. Rev. Lett. 107. 212501(2011) : EXO-200

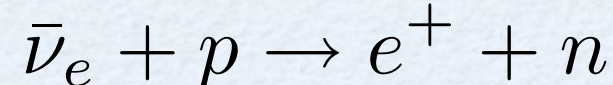
Phys. At. Nucl. 69,2129(2006)

KamLAND-Zen実験



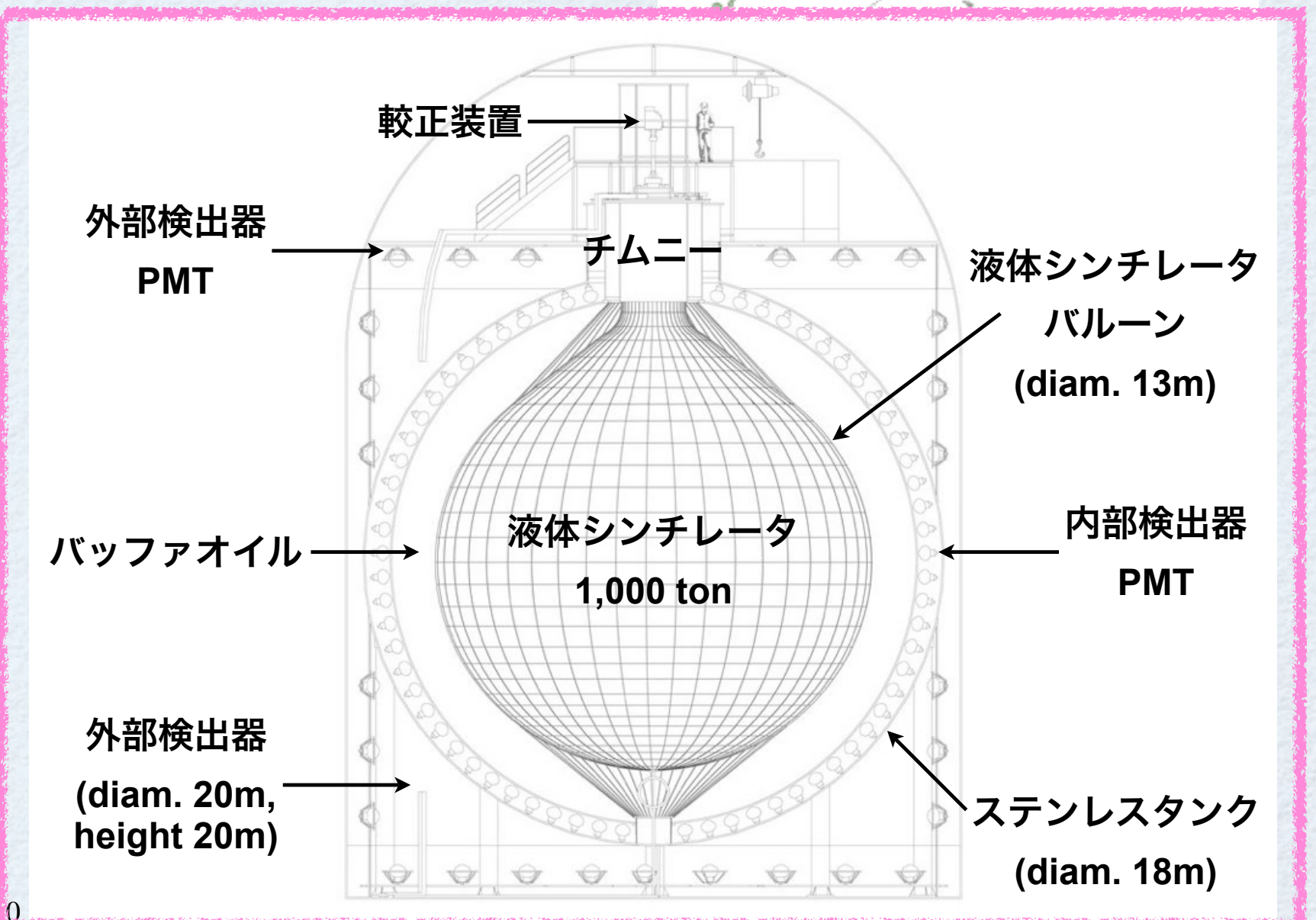
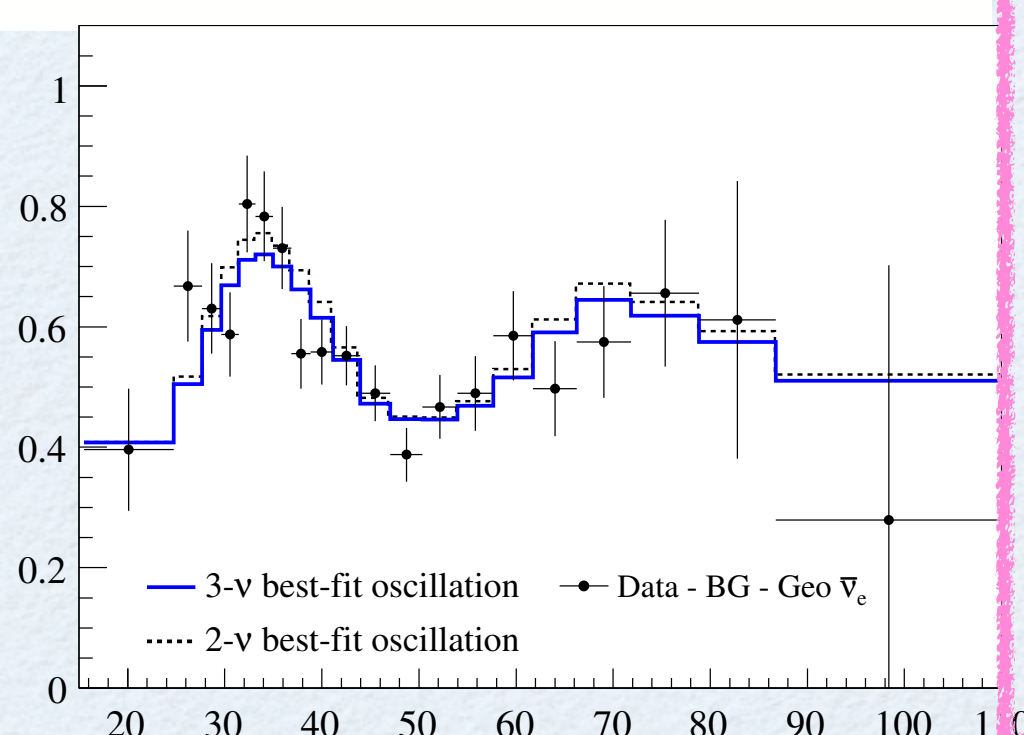
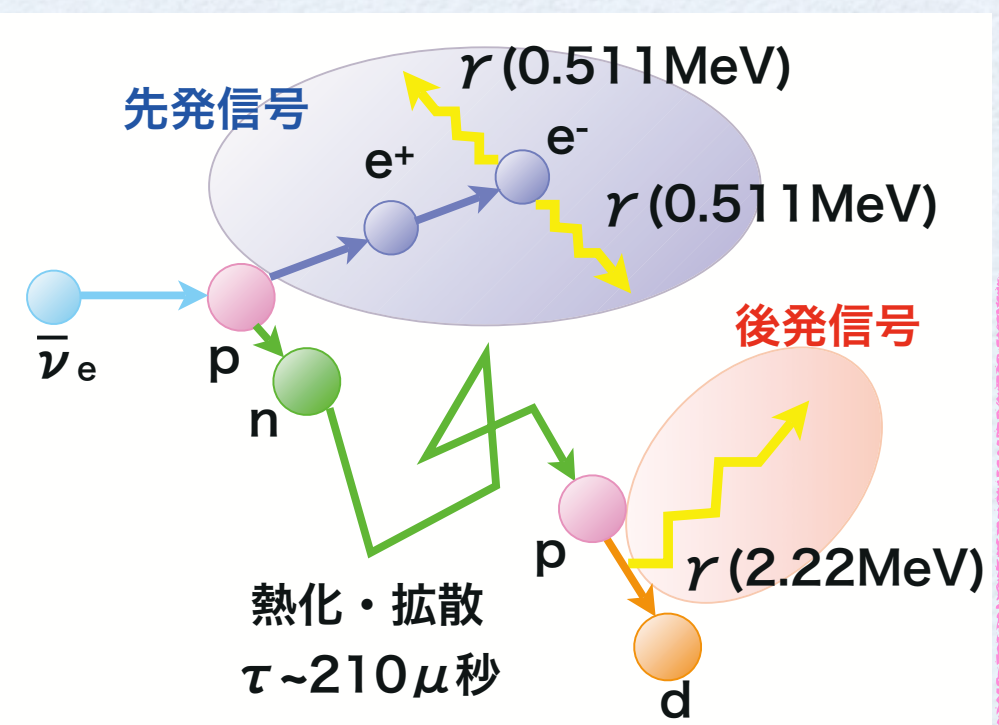
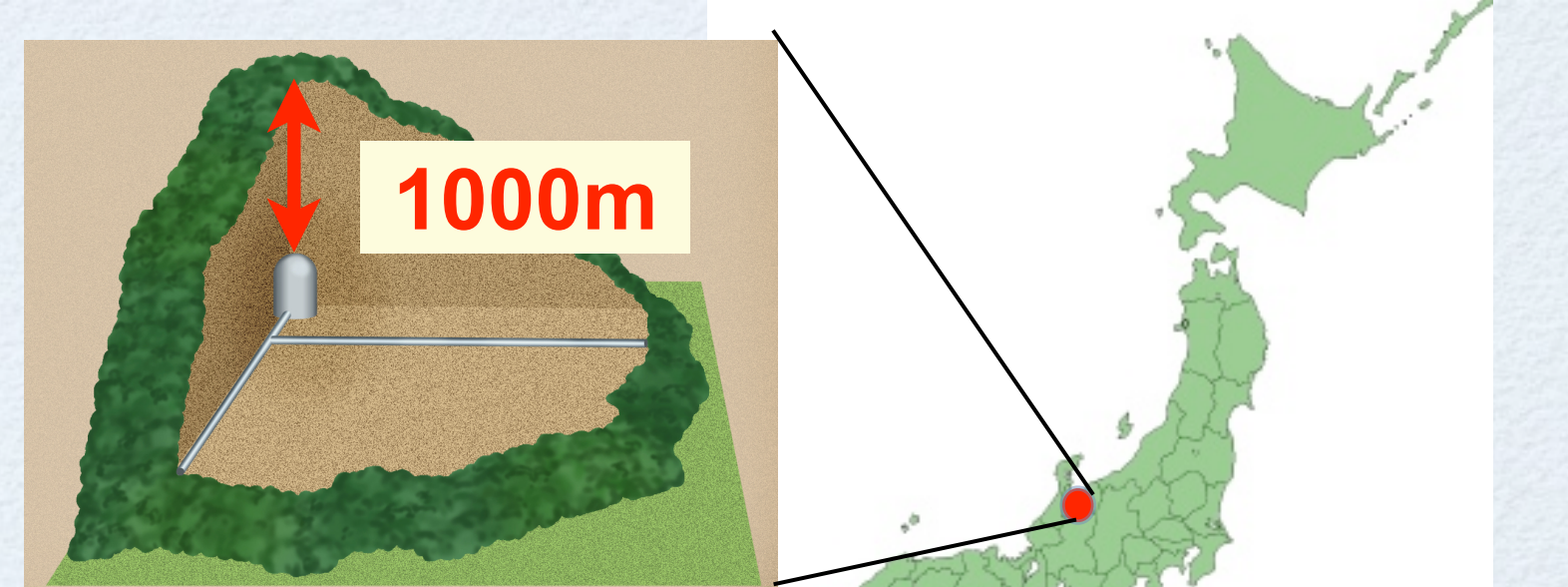
KamLAND検出器

逆ベータ崩壊を利用した



低バックグラウンド

ニュートリノ検出器



KamLAND-Zen実験

2011年10月実験開始

KamLAND with Zero Neutrino double beta decay search

-ミニバルーン(ナイロン製)

半径1.54m, 厚さ25μm

- Xe-LS

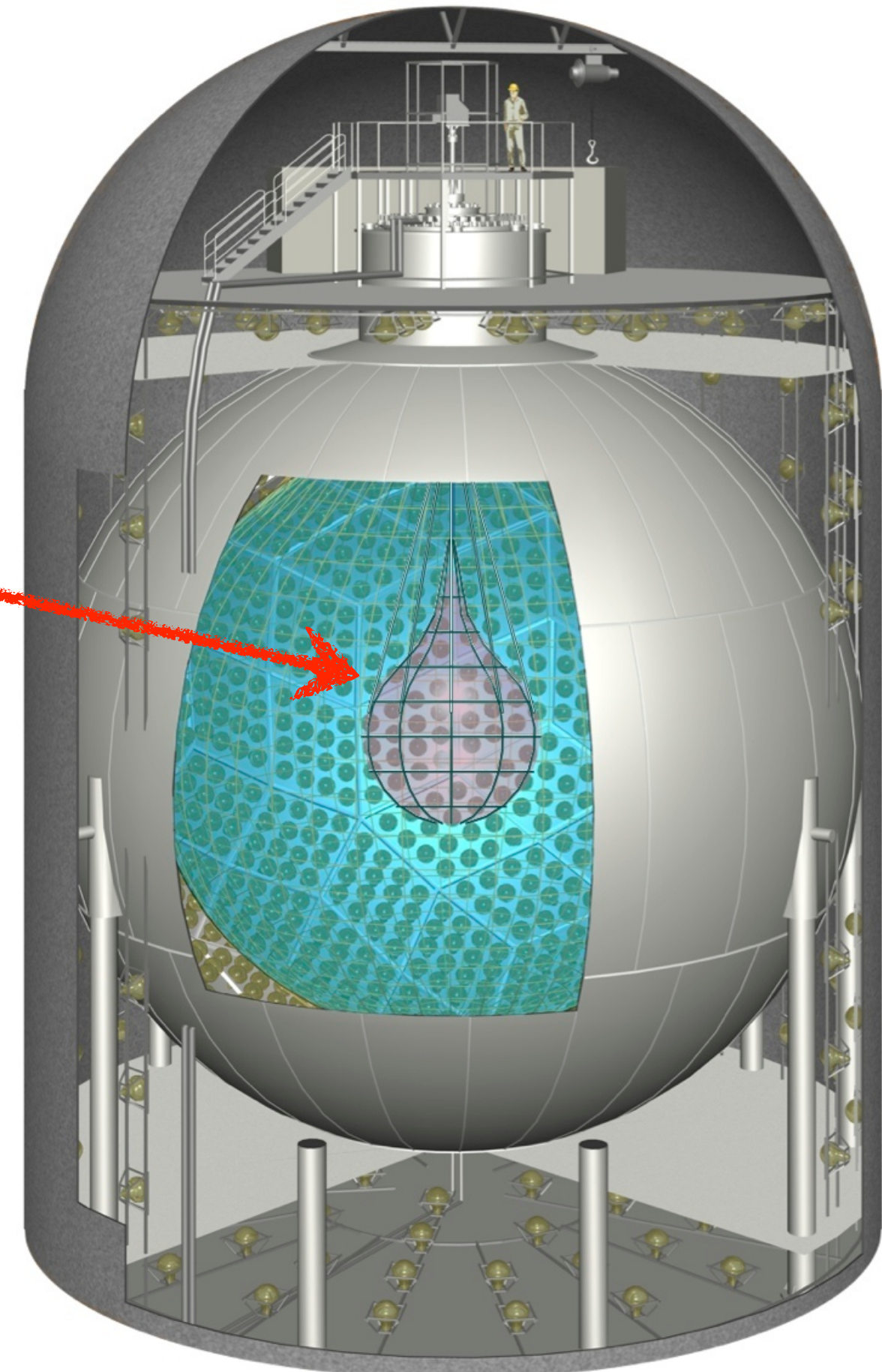
82%: デカン

18%: プソイドクメン

2.7g/l: PPO

(2.52 ± 0.07)wt% 濃縮Xe

(90.93% ^{136}Xe , 8.89% ^{134}Xe)



キャリブレーション



エネルギーキャリブレーション

- vertex-time-charge テスト

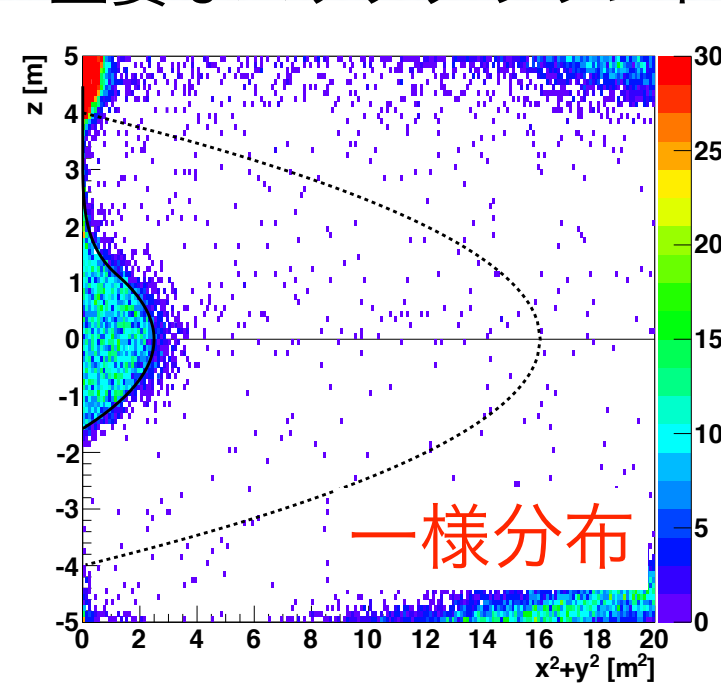
(1) ^{222}Rn 由来の ^{214}Bi ($\beta+\gamma$'s)

(2) ^{208}TI (2.614MeV γ)

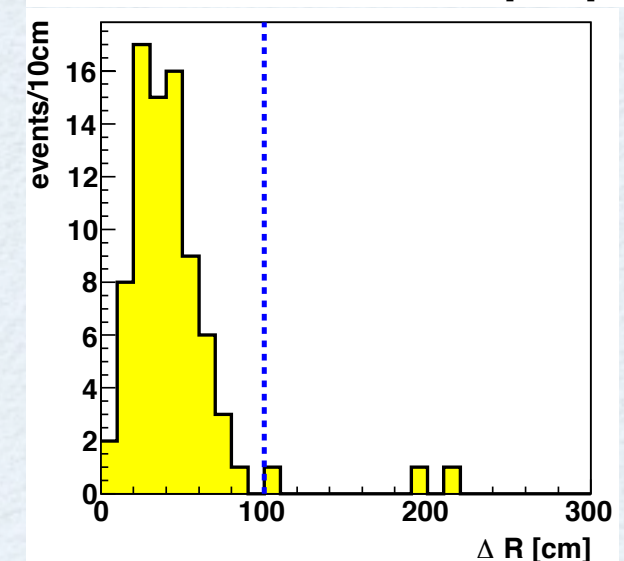
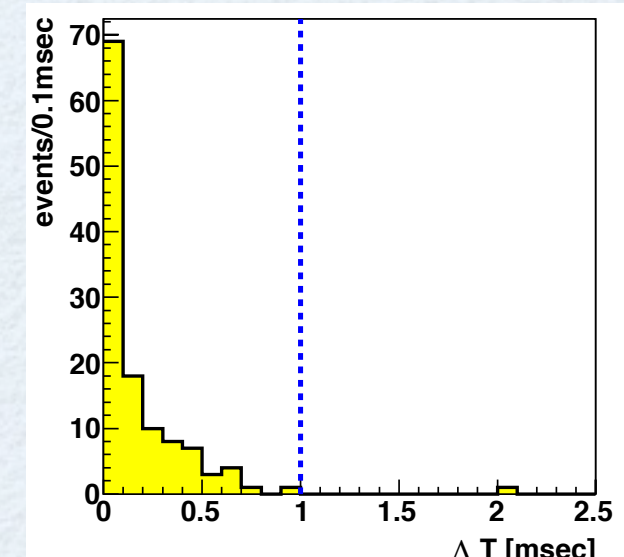
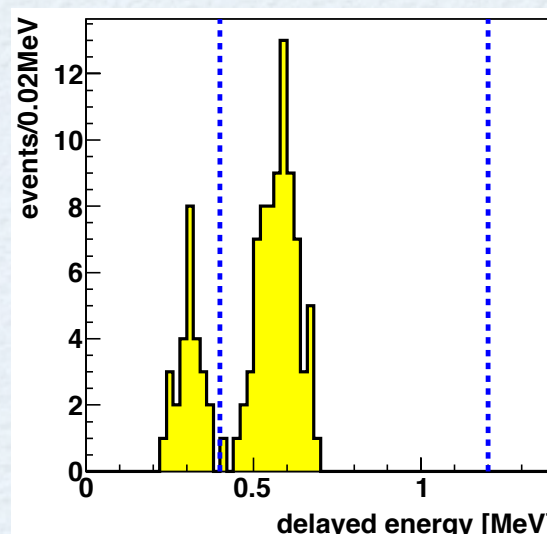
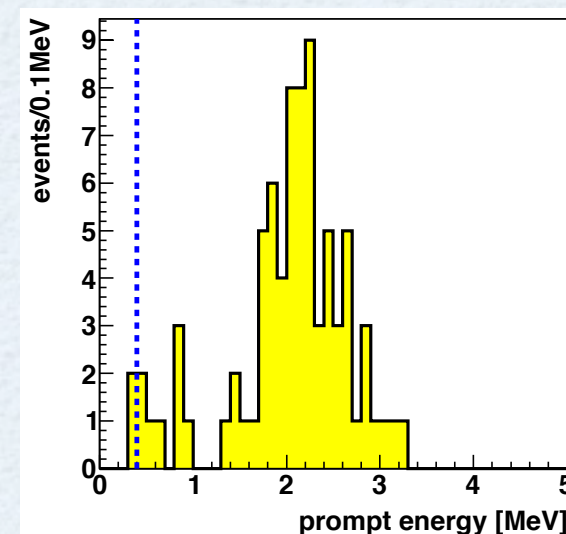
0vのピーク
(2.46MeV)を含む

(1) ^{214}Bi

主要なバックグラウンド



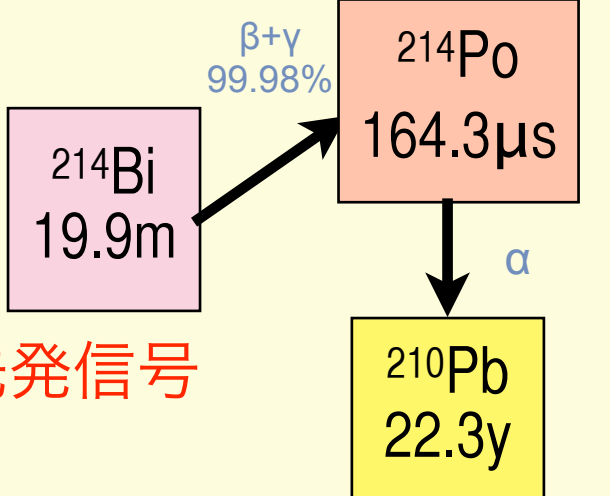
一様分布



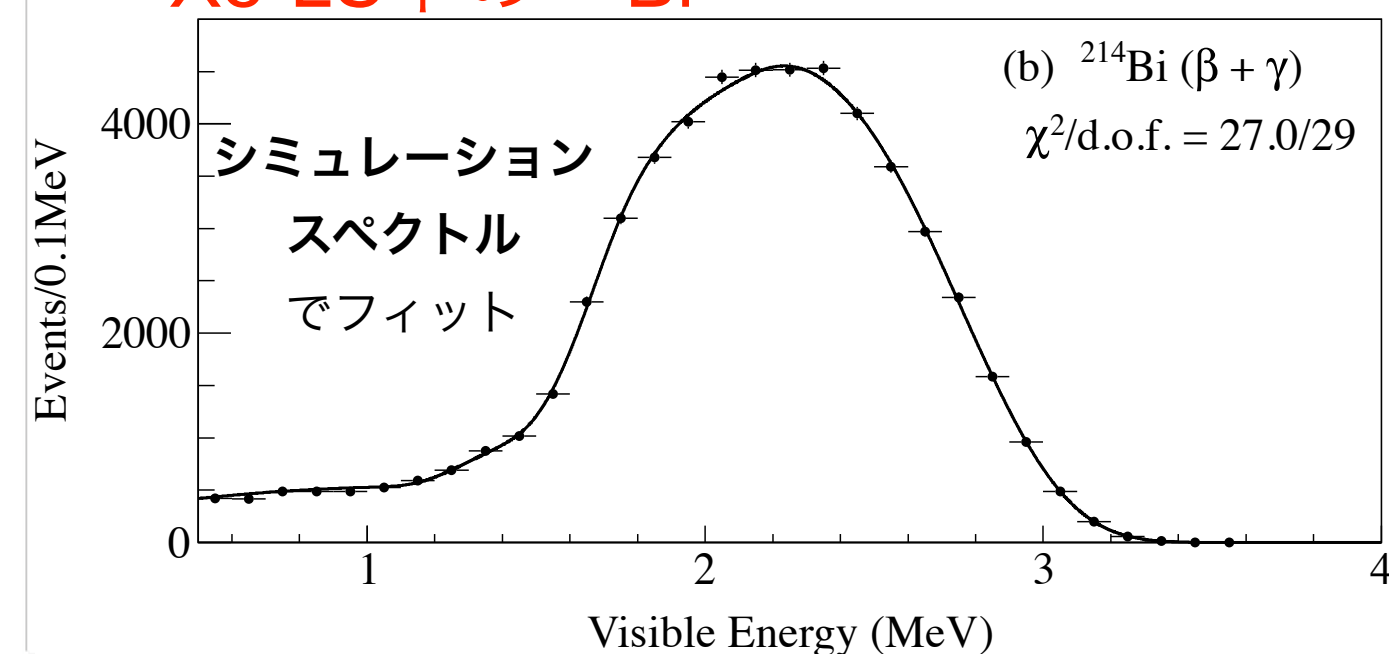
→除去率(99.97±0.01)%

遅延同時計測

後発信号



Xe-LS中の ^{214}Bi

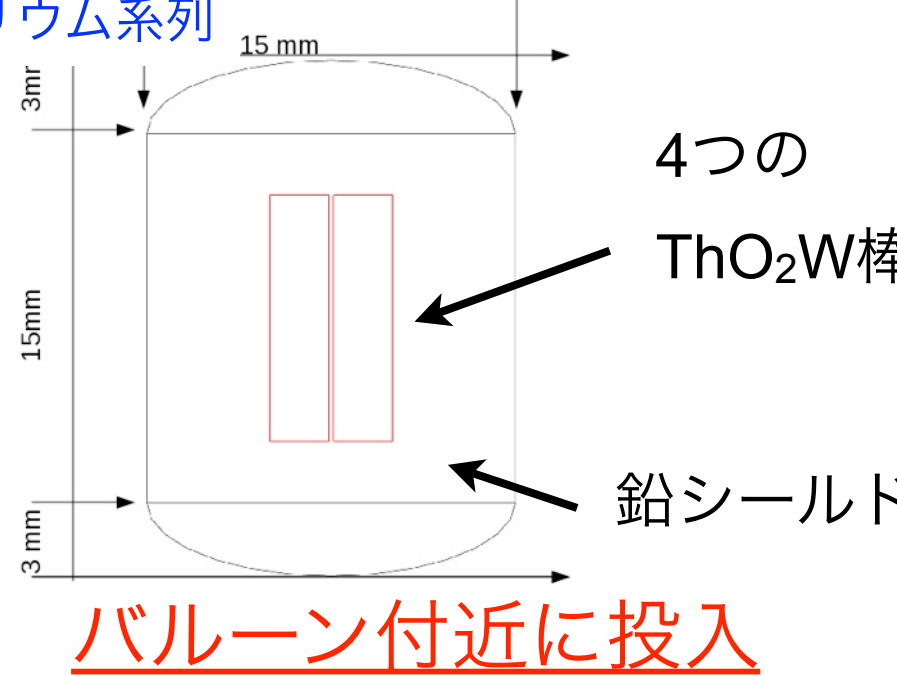


(2)²⁰⁸Tl

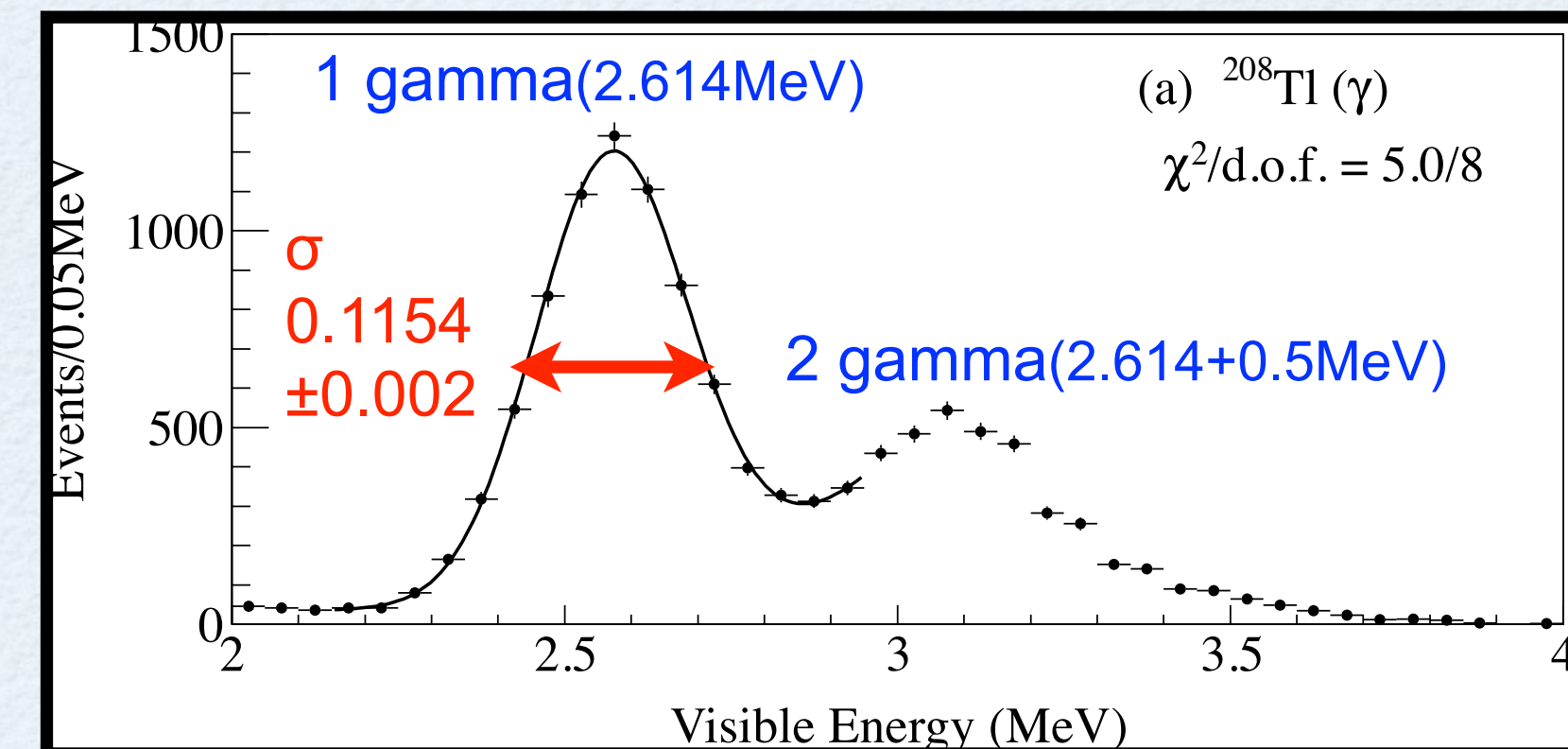
ソース(ThO_2W)のジオメトリ

$(^{232}\text{Th} \text{ 2~4wt\%}) \rightarrow ^{208}\text{Tl}(35.94\%)$

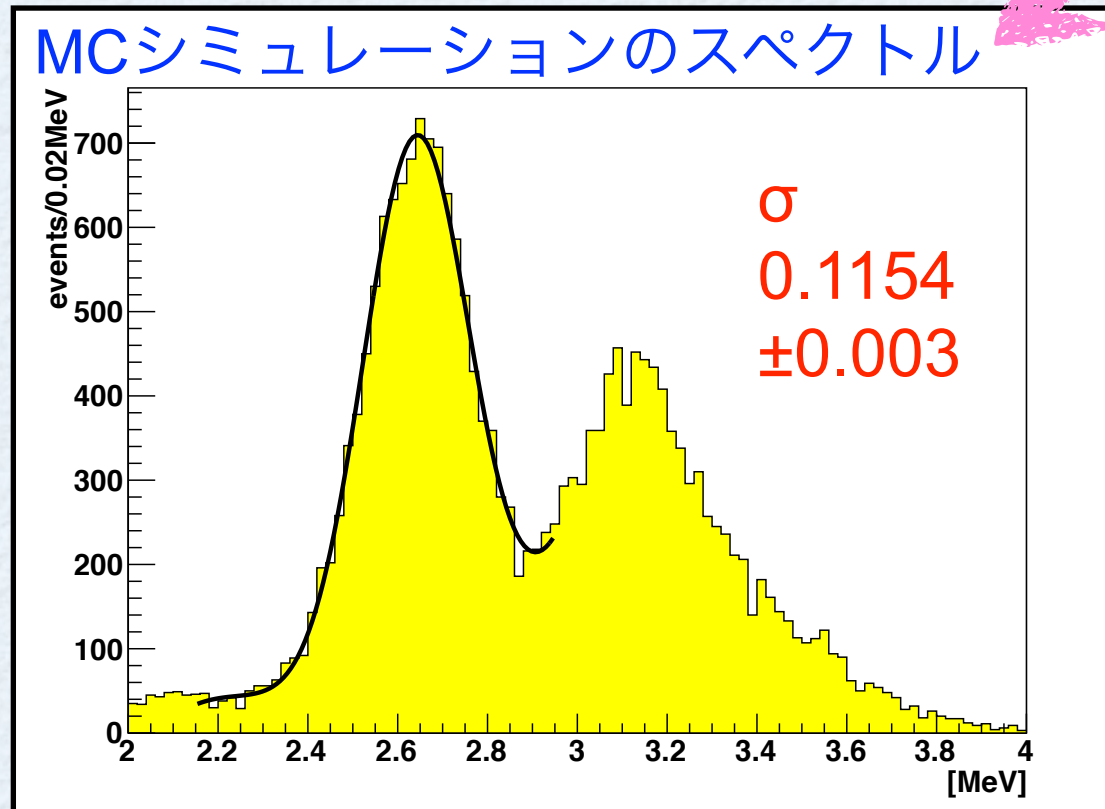
トリウム系列



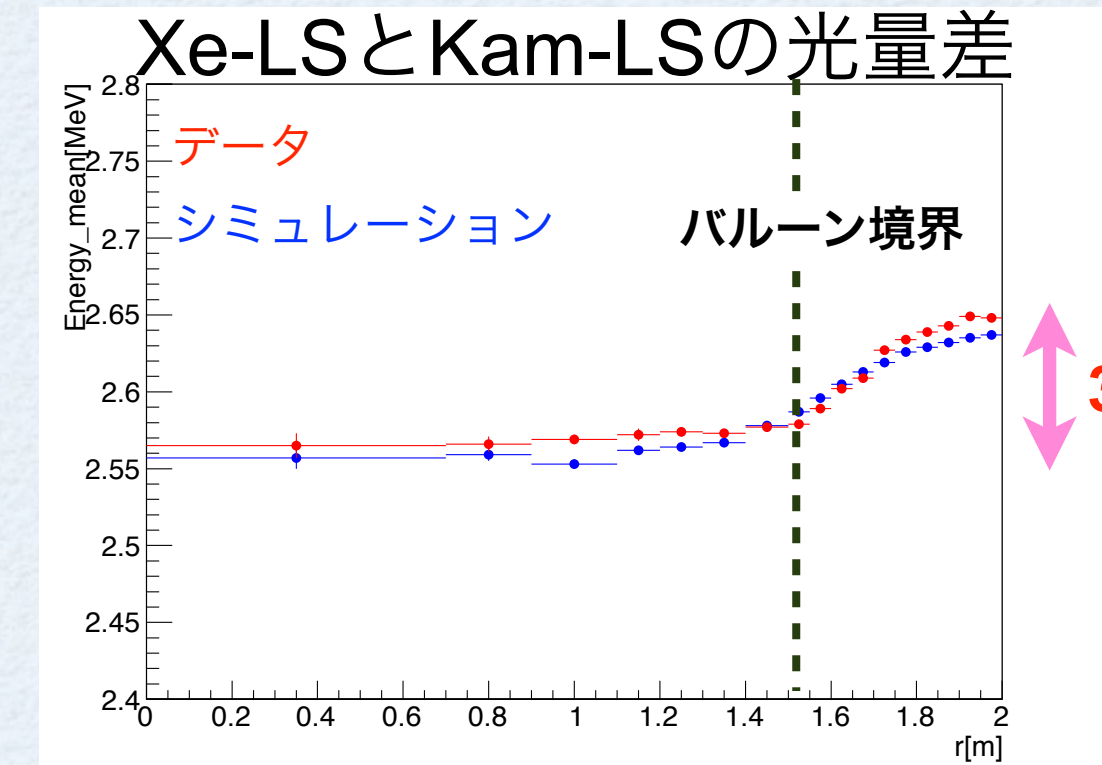
gaussian + 3次多項式でfit



► エネルギー分解能



↑ σ を合わせる $(6.6 \pm 0.3)\%/\sqrt{E(\text{MeV})}$

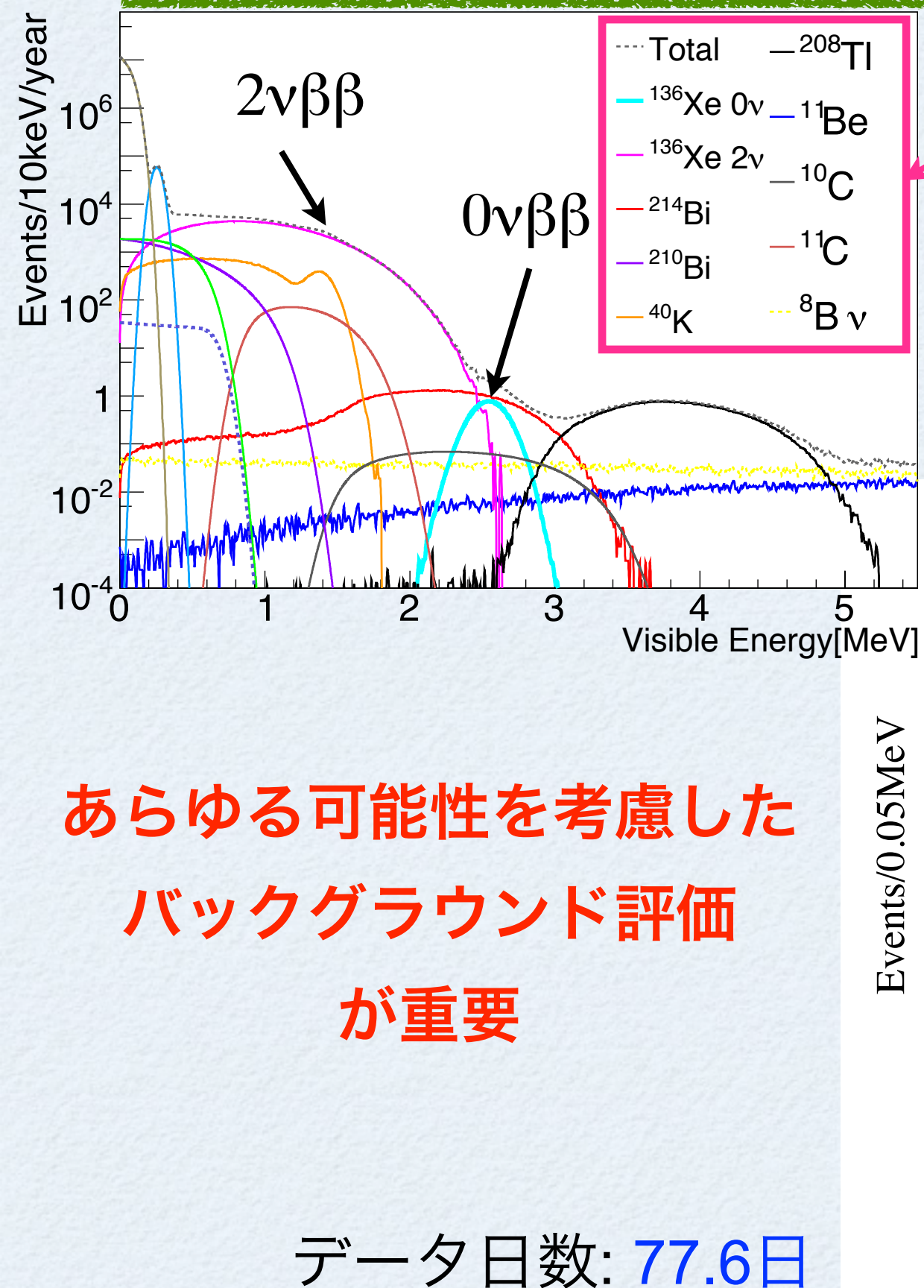


バックグラウンドの概観



全体のエネルギースペクトル

予想されるエネルギースペクトル

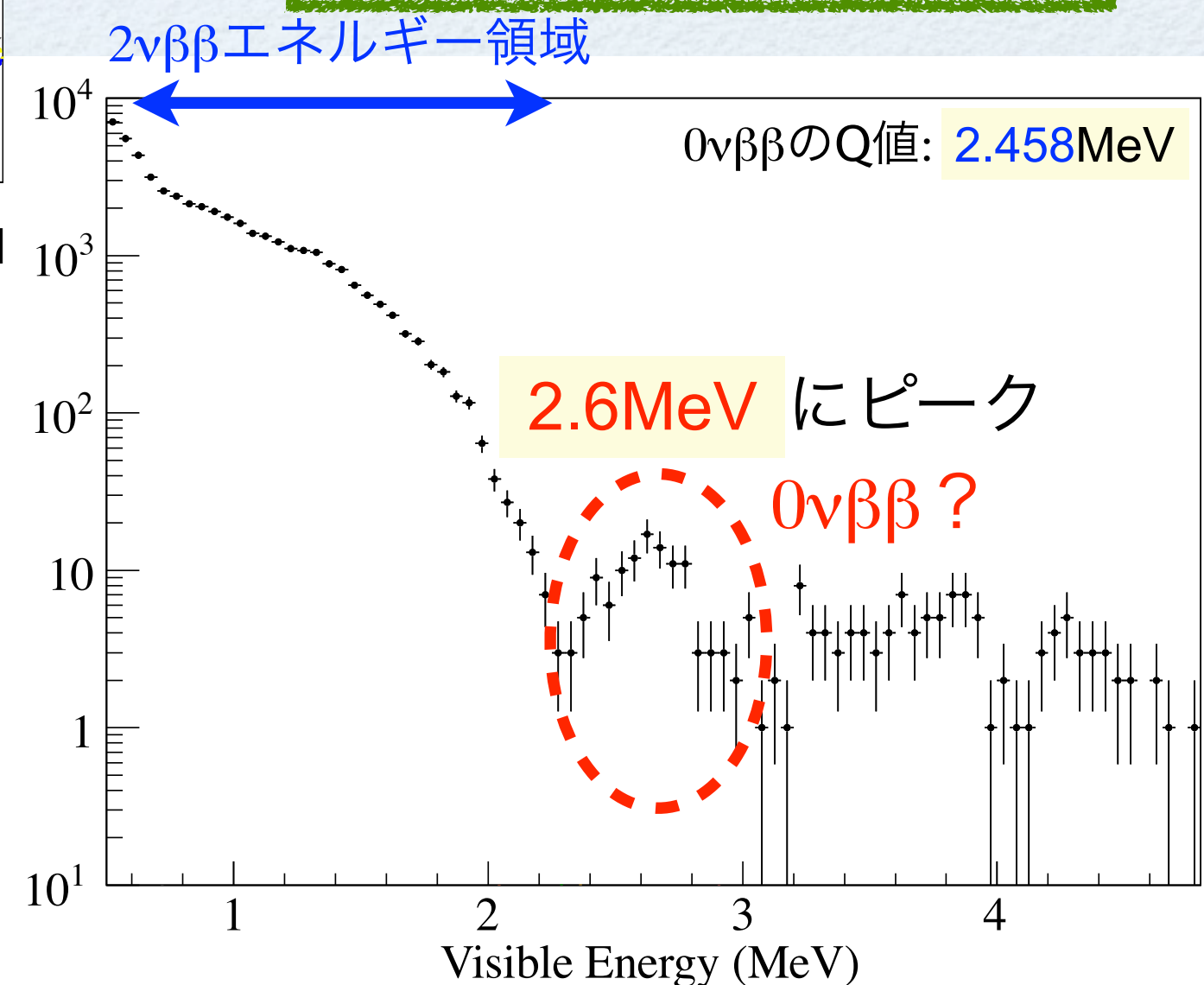


KamLAND実験から

予想されるバックグラウンド

データの再構成は適切か？
未知のバックグラウンドがあるか？

実際のエネルギースペクトル



バックグラウンドの起源

(1)バルーンに混入または付着

制作



輸送



インストール

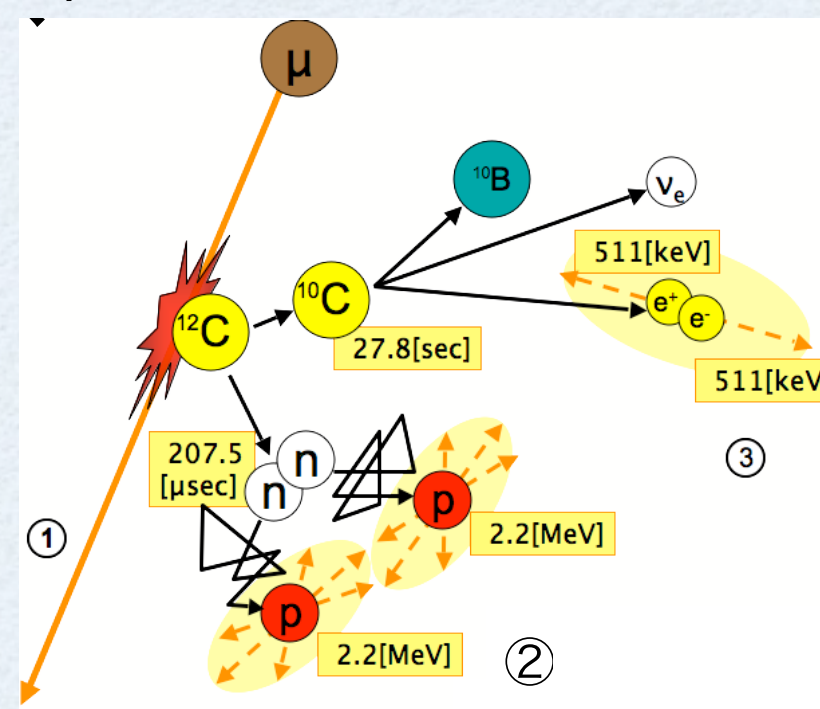


(2)Xe-LS送液システムに混入



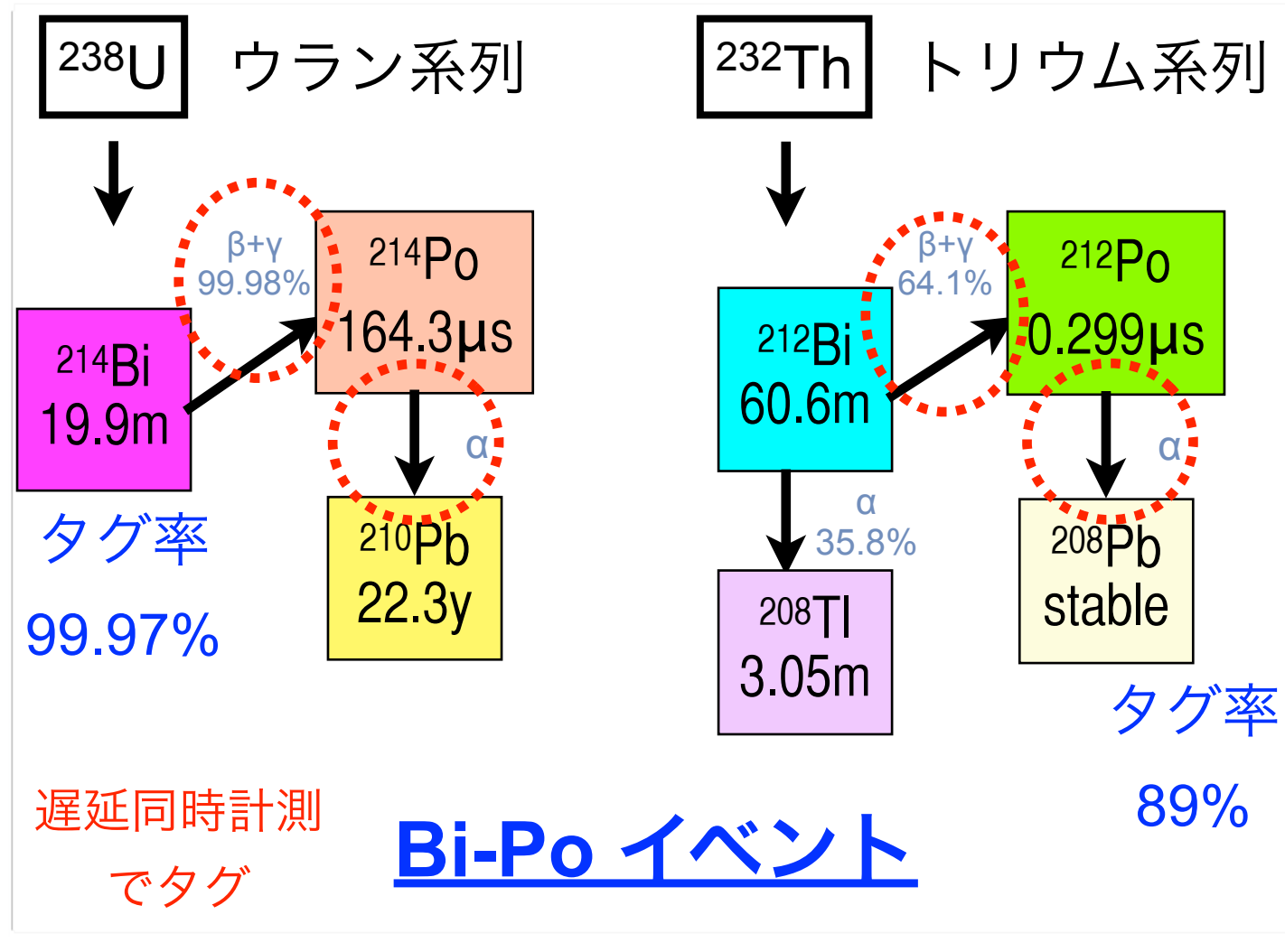
(3)原子核破碎 (spallation)

ex) 宇宙線ミューオンによる¹²C破碎



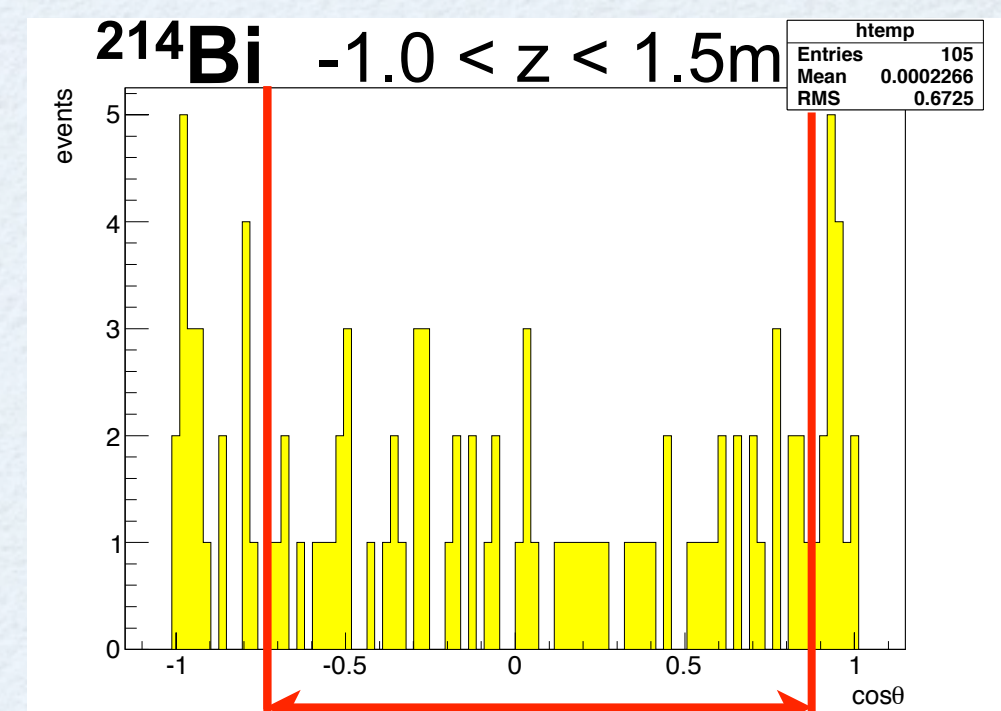
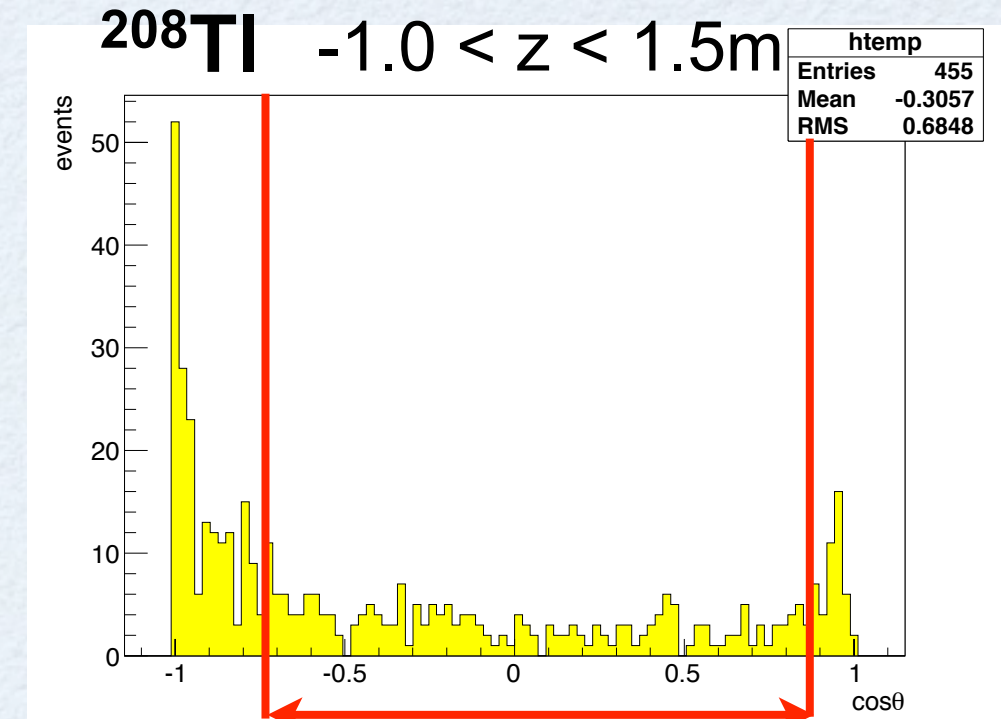
¹³⁶Xe破碎
の可能性

主要バックグラウンド



(全イベント) - (Bi-Po イベント)
= **Singleイベント**

► 一様分布する領域の選定



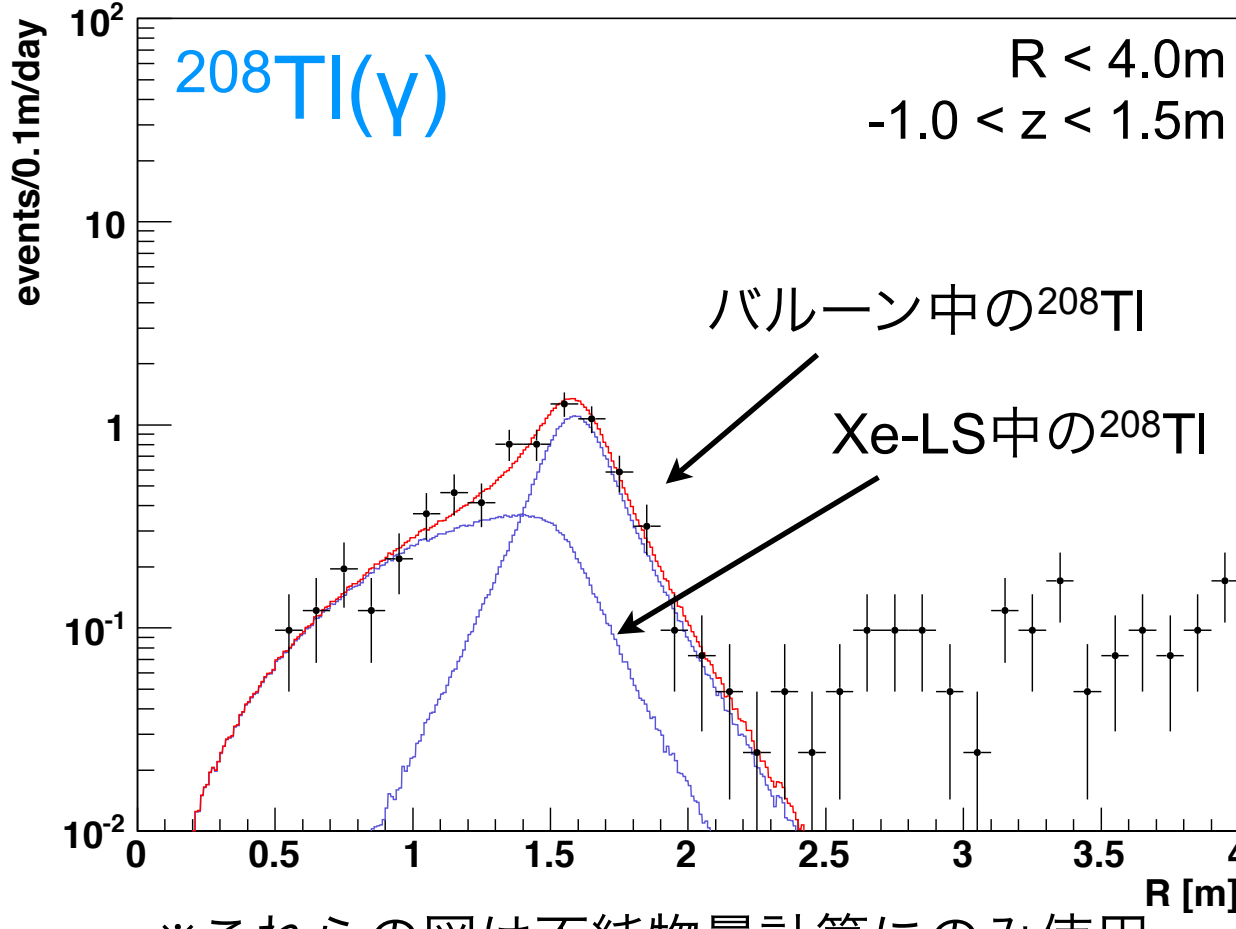
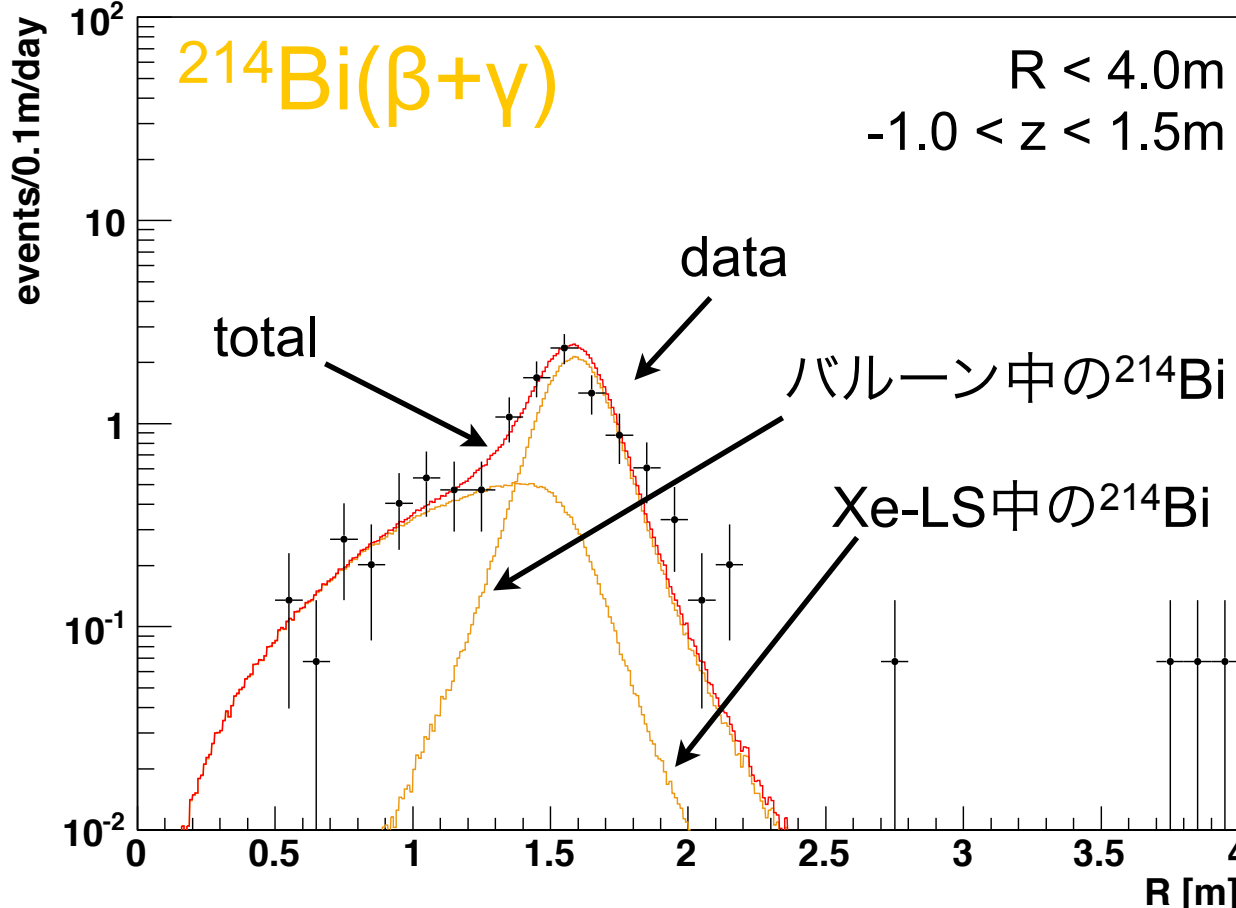
► U,Thの見積もり方

- 放射平衡を仮定し、 $^{212}\text{Bi}, ^{214}\text{Bi}$ のレートを求める
- R分布をMCスペクトルでフィット
(Xe-LSとバルーンそれぞれスペクトルを指定)

^{238}U : ^{214}Bi (Bi-Po イベント) → ^{214}Bi のレート

^{232}Th : ^{208}TI (Singleイベント) → ^{212}Bi のレートに変換

Xe-LS中に含まれるU, Thの量



※これらの図は不純物量計算にのみ使用

^{214}Bi in Xe-LS
 4.88 ± 0.83 events/day

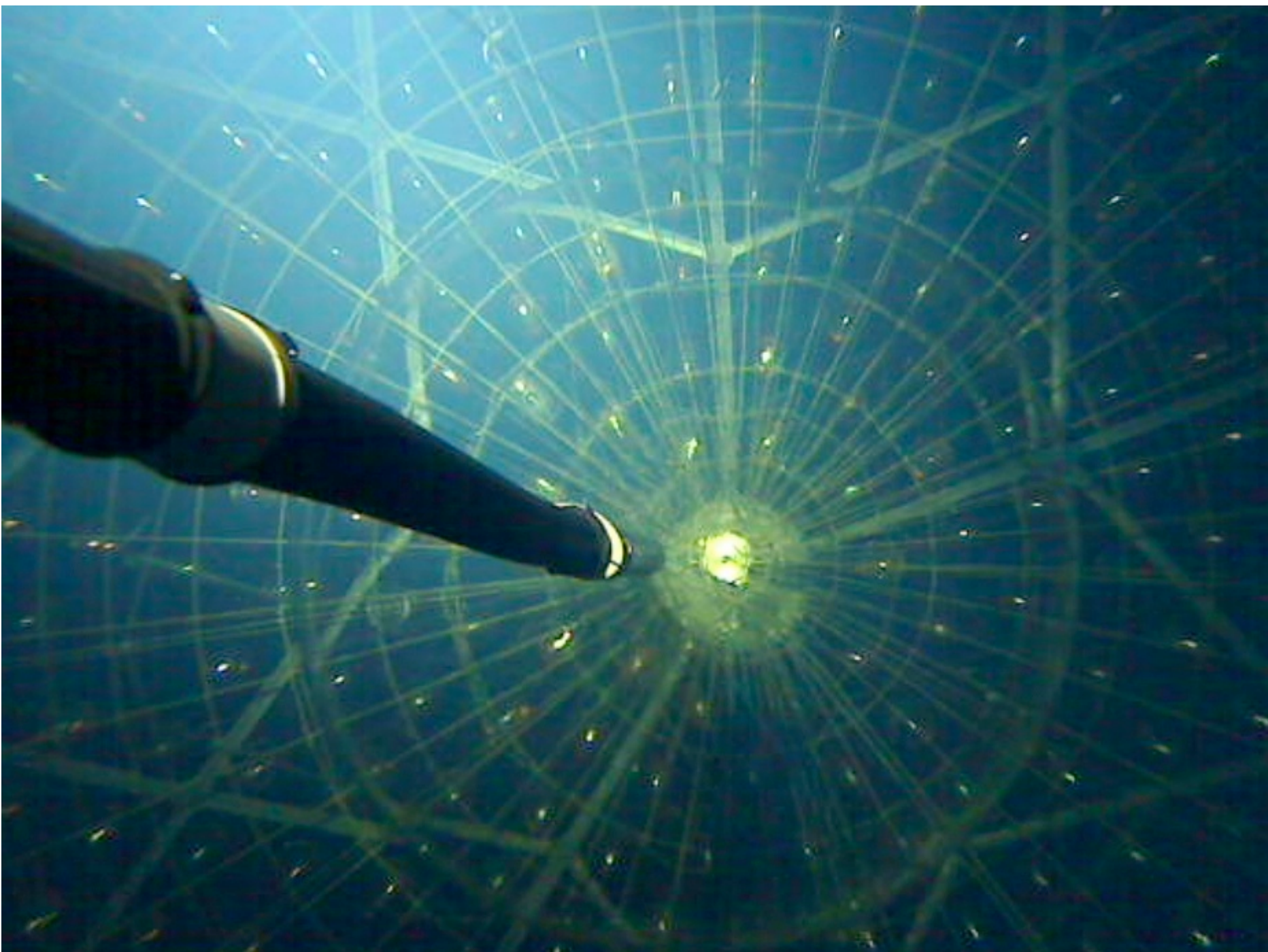
^{238}U in Xe-LS: $(3.5 \pm 0.6) \times 10^{-16}$ g/g
 ^{238}U in balloon: $(1.8 \pm 0.4) \times 10^{-11}$ g/g

^{212}Bi in Xe-LS
 10.1 ± 1.3 events/day

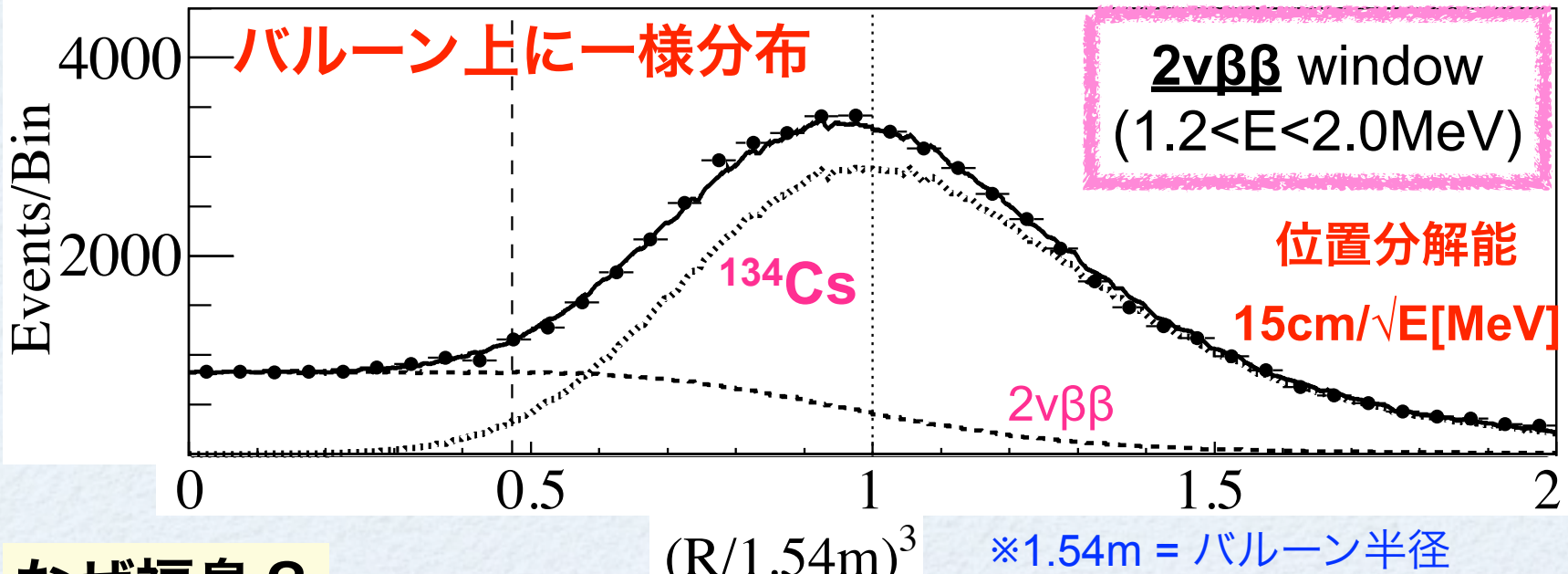
^{232}Th in Xe-LS: $(2.2 \pm 0.3) \times 10^{-15}$ g/g
 ^{232}Th in balloon: $(3.7 \pm 0.4) \times 10^{-11}$ g/g

U,Th以外のバックグラウンドは?

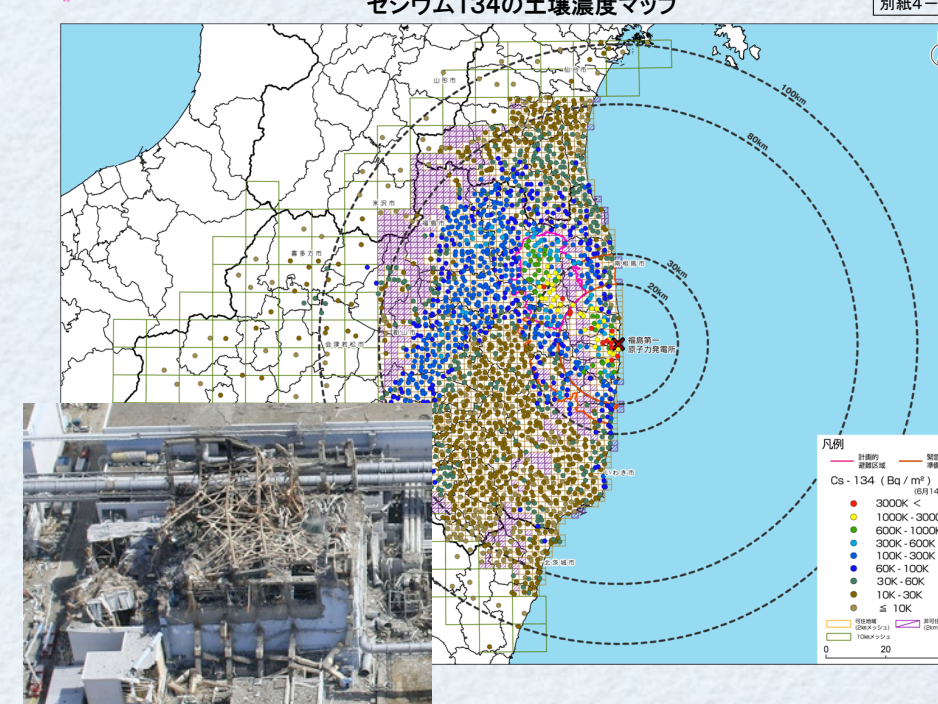
二重ベータエネルギー領域の バックグラウンド特定



2νββエネルギー領域のバックグラウンド



福島原発事故が起源！



なぜ福島？

- Csは自然界に存在しない

→ Xeのspallation?

- ^{137}Cs をspallationで

作ろうとすると

^{136}Xe より質量数大きく

反応が起こりにくい

- データと福島の

$^{134}\text{Cs}/^{137}\text{Cs}$ がほぼ一致

(~0.8 大)

^{137}Cs の多さが

spallationでは説明できない

なぜバルーンに分布？

- バルーンを仙台で制作

- 仙台の土壤からCs検出

(Ge検出器で測定)

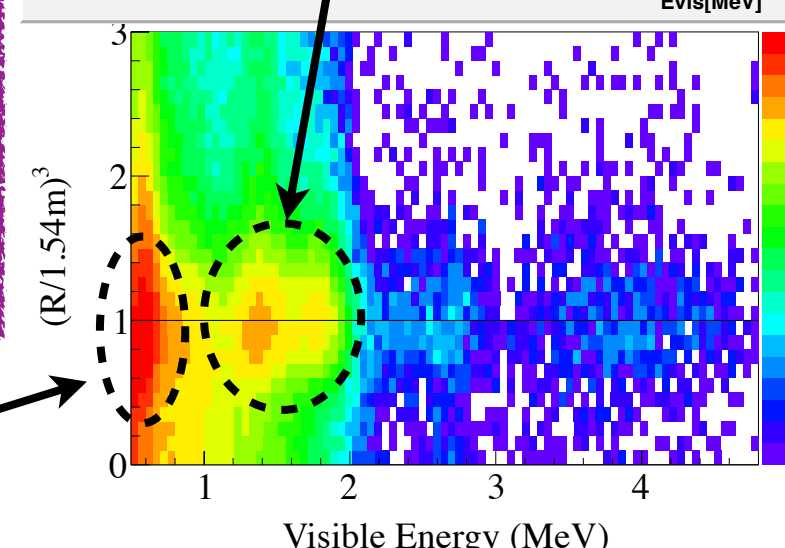
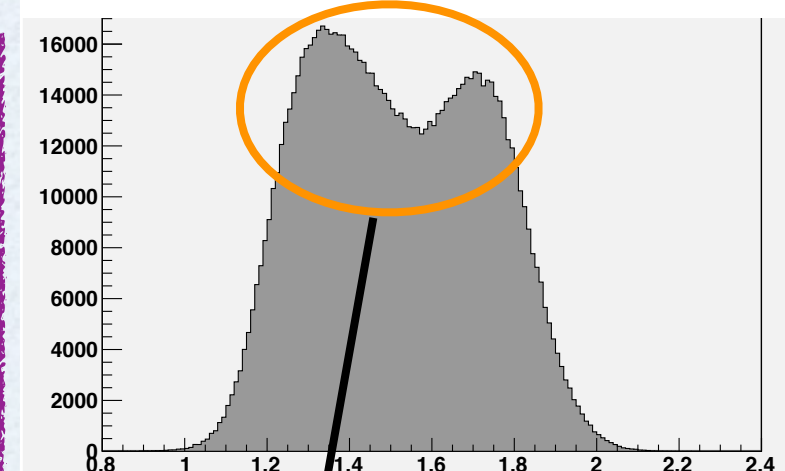
- R^3 分布で精度よくフィット

- CsはLSに溶けない

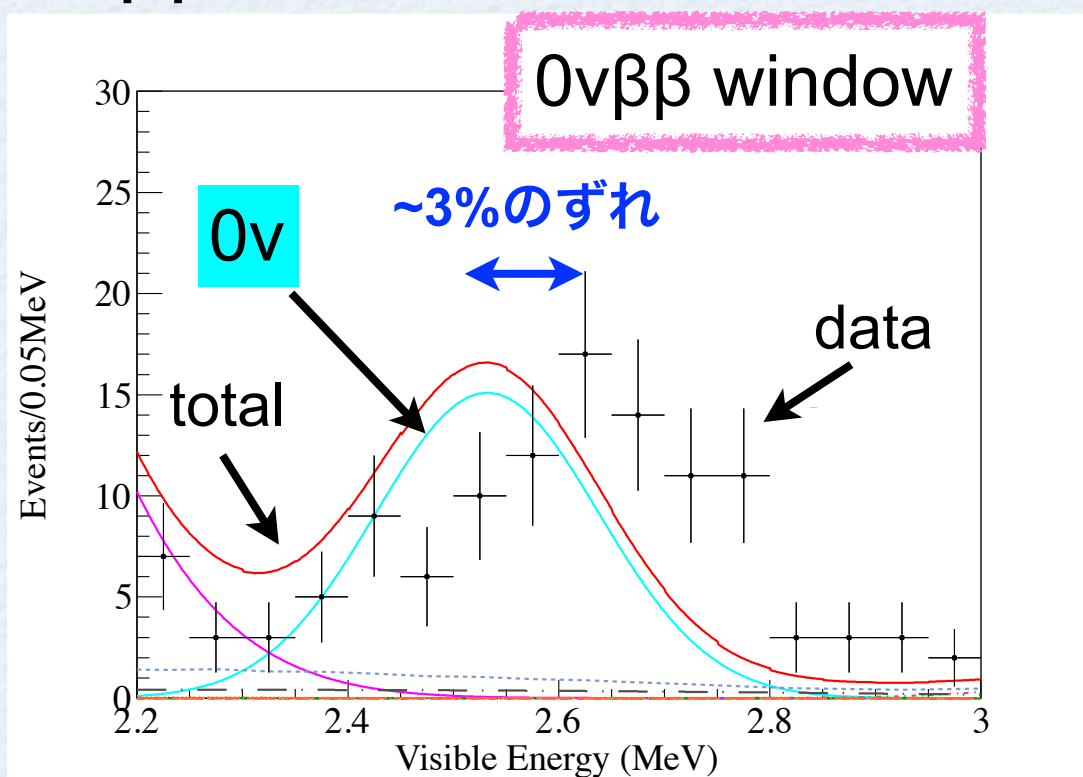
(土壤をLSに投入→濾過、
LSからCs検出されず)

^{137}Cs

^{134}Cs のシミュレーションスペクトル



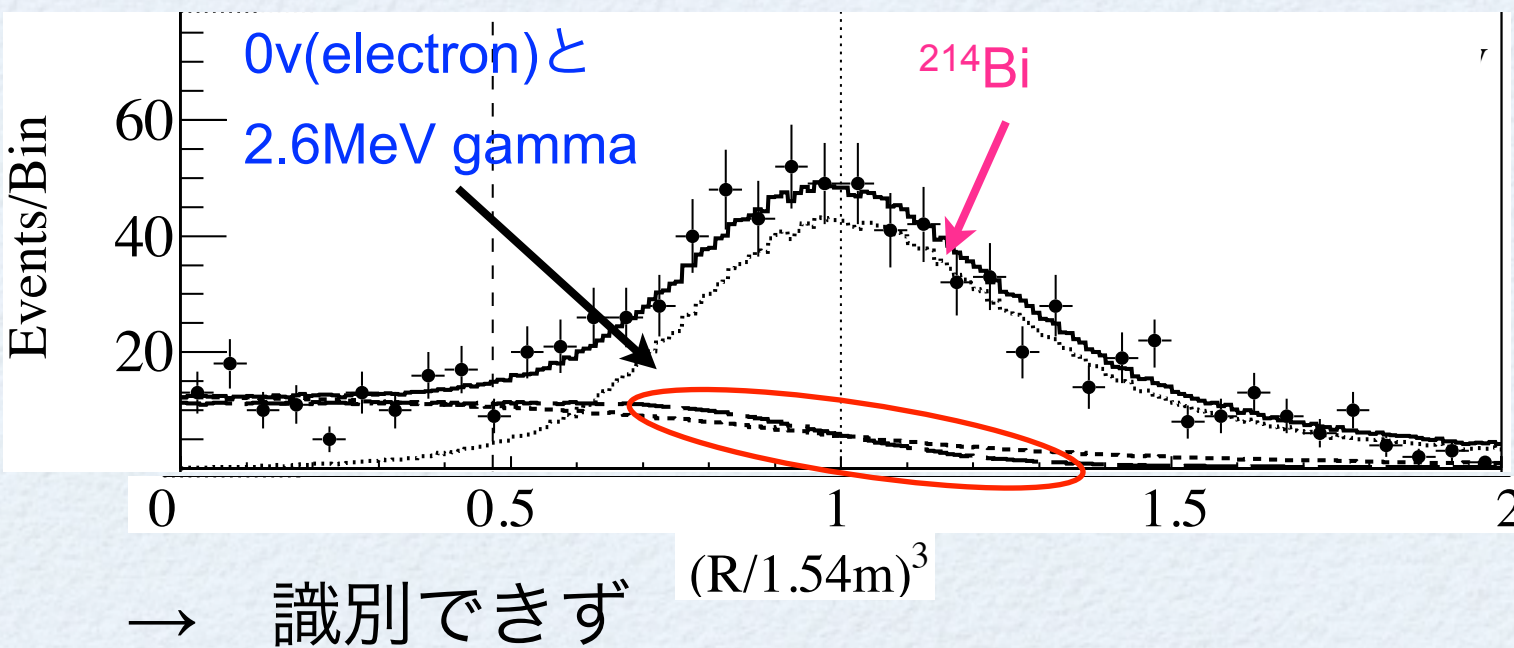
0νββエネルギー領域のバックグラウンド



バックグラウンドの寄与がない
という仮定は、
5σ以上の信頼度で否定される

- ▶ わかっていること
 - 物理イベントである(位置、エネルギーのmiss reconstructionなし)
 - Xe-LSに一様に分布
 - 寿命がある程度長い
(イベントレートの時間安定性)
 - KamLAND-LSには見られないイベント

▶ R³分布による粒子識別は?



放射性同位体の探索へ

0νββエネルギー領域の放射性同位体探索

► 手順

1. 原子核の崩壊系列の情報をリストアップ
2. それを元に

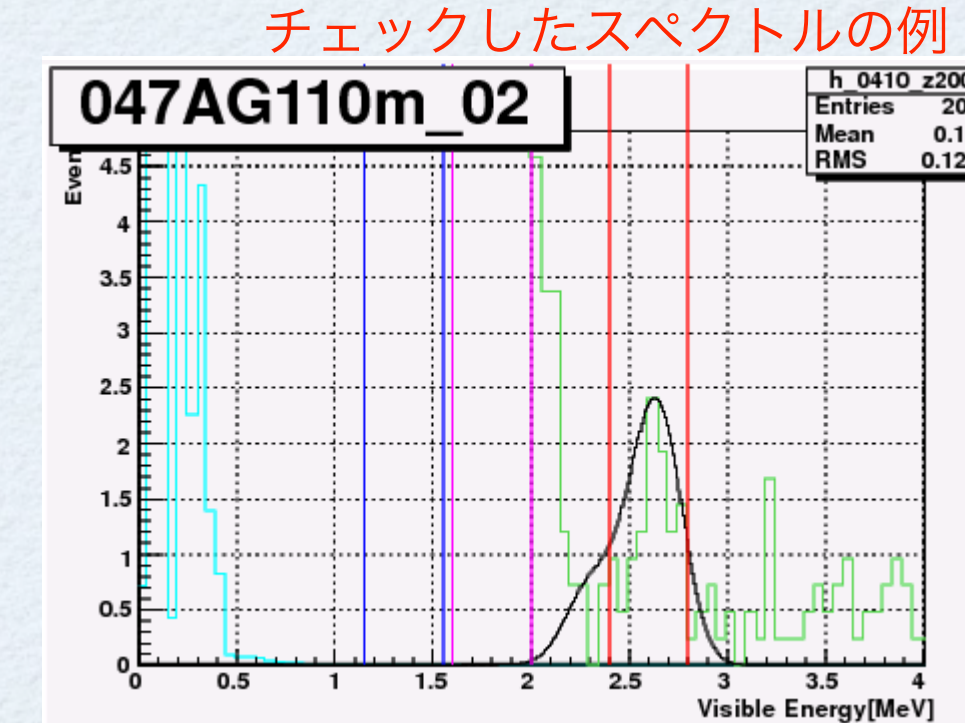
β崩壊(β^-) $(Z, A) \rightarrow (Z + 1, A) + e^- + \bar{\nu}_e$
逆β崩壊(β^+) $(Z, A) \rightarrow (Z - 1, A) + e^+ + \nu_e$
電子捕獲(EC) $(Z, A) + e^- \rightarrow (Z - 1, A) + \nu_e$

を起こす原子核の情報 (寿命、Q値等)を集める

3. KamLANDで期待されるエネルギースペクトルを作る

- エネルギー分解能: $6.9\%/\sqrt{E[\text{MeV}]}$
- KamLANDのquenching factor
- ~200nsのtime windowに入っているか

4. **ENSDFの全原子核の崩壊をチェック**



2.6MeVに
ピークがあるか？

5. 残ったスペクトルに対してさらに**寿命の制限を加える**

(有力な原子核の**崩壊系列を遡って**、
寿命30日以上の親核があれば候補に入れる)

<http://ie.lbl.gov/databases/ensdfserve.html>

※30日以内のXe
spallationについて
も確認した

0νββエネルギー領域の放射性同位体探索

► 残った候補

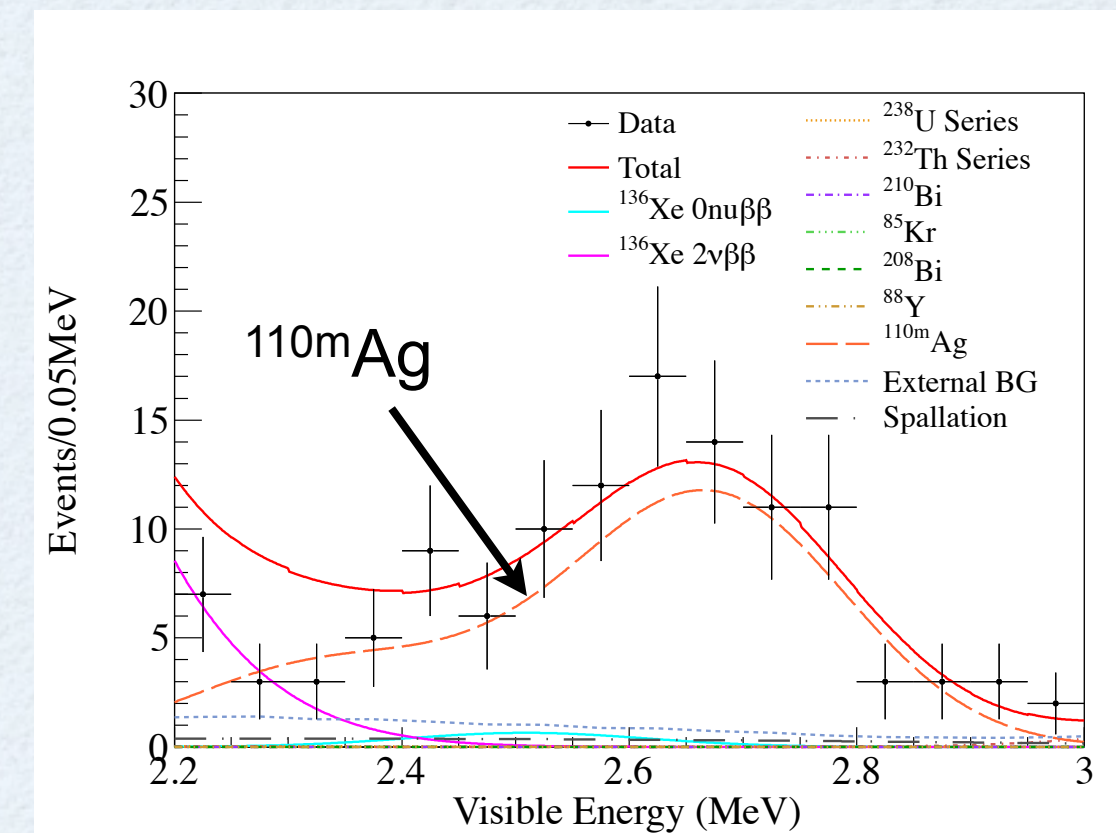
	崩壊モード	寿命	Q値[MeV]
^{110m}Ag	$\beta^- + \gamma$	360日	3.01
^{88}Y	EC + γ	154日	3.62
^{208}Bi	EC + γ	5.31×10^5 年	2.88
^{60}Co	$\beta^- + \gamma$	7.61年	2.82

← 有力！

Xe spallationによって生成し、
Xeガスと共にLSに混入した？

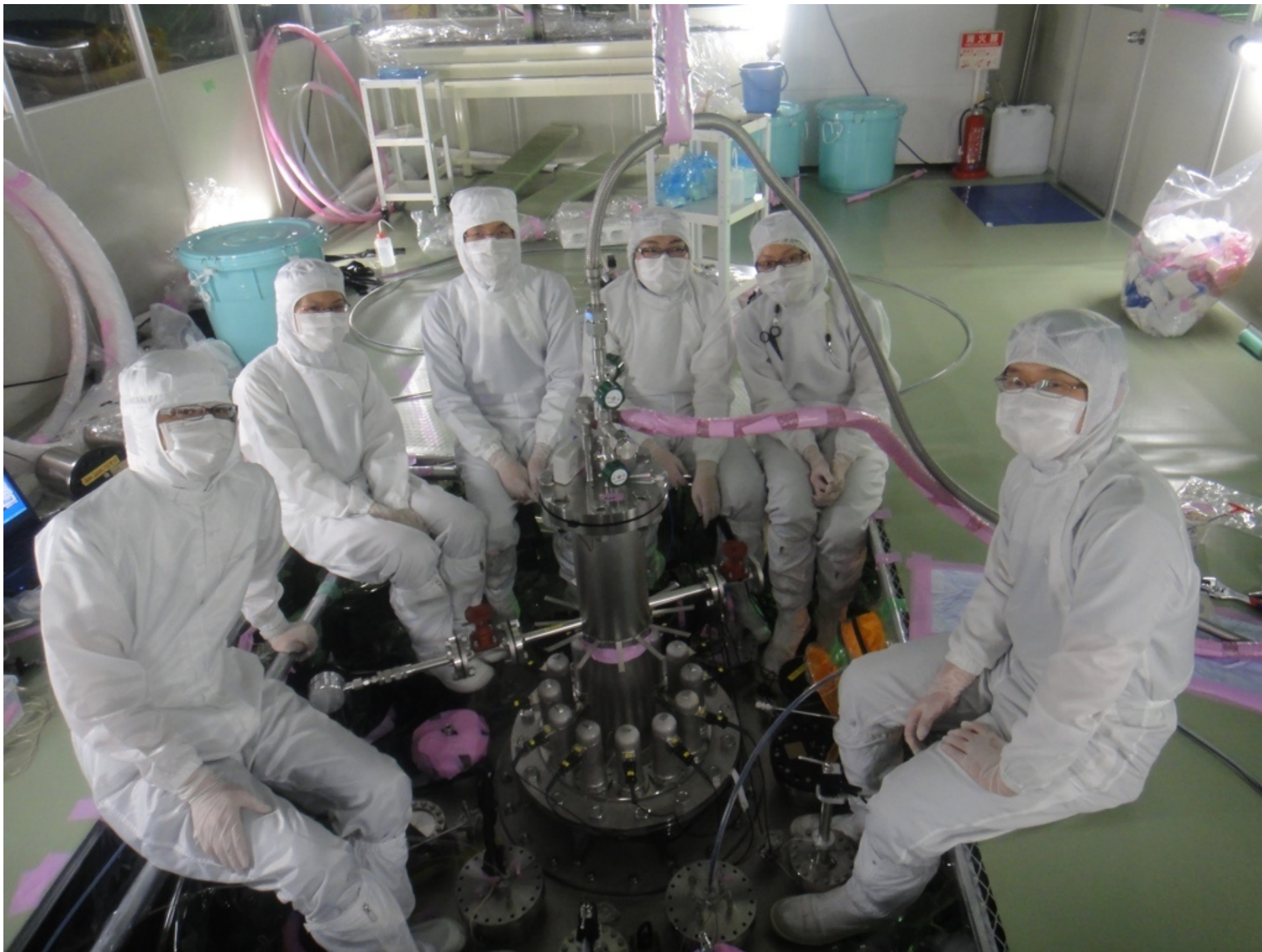
► 考察

- Xeガスが輸送中に大量の宇宙線を浴びて
 ^{136}Xe が破碎された？
- XeガスをLSに溶かす際には
混入していた可能性あり
- LS中に一様に分布しているように見える
→ インストール時XeガスはLSに溶かして循環
→ Xeガスと共に混入して分散？
- 福島起源の可能性もあり



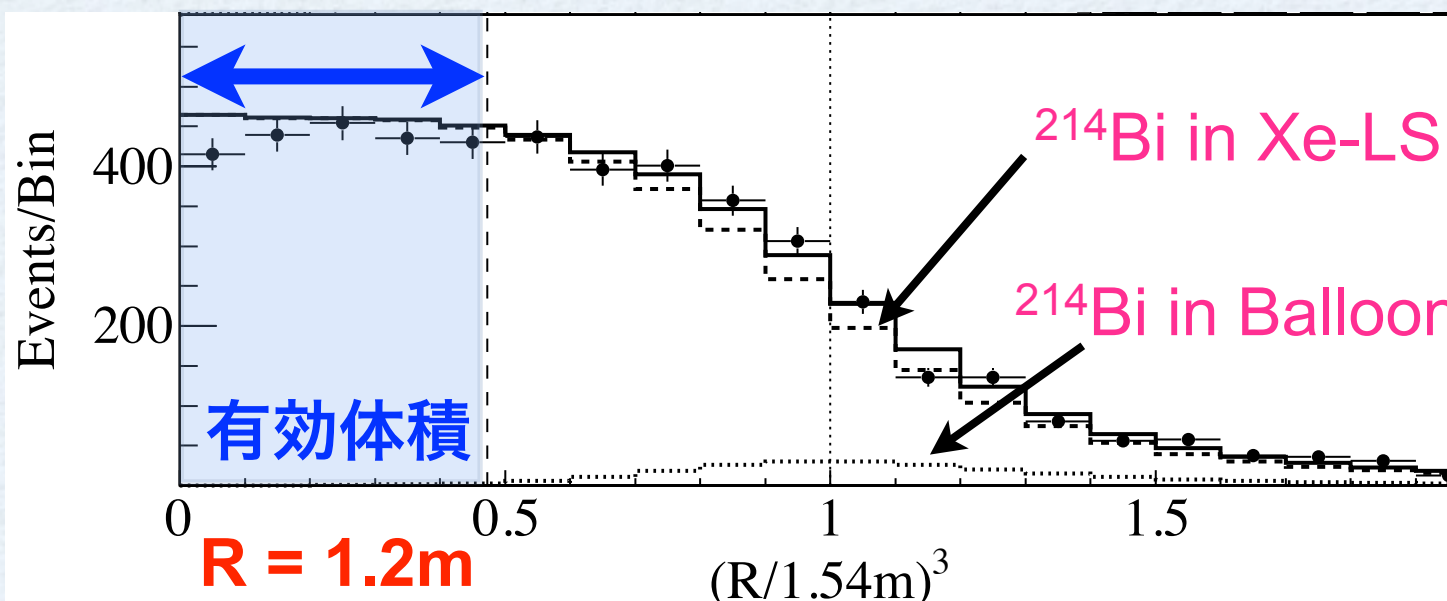
$^{110m}\text{Ag}, ^{88}\text{Y}, ^{208}\text{Bi}, ^{60}\text{Co}$
 $0.22 \pm 0.04 (\text{ton} \cdot \text{day})^{-1}$

二重ベータ崩壊の半減期と ニュートリノ有効質量の上限値



有効体積の決定

Systematic Uncertainty

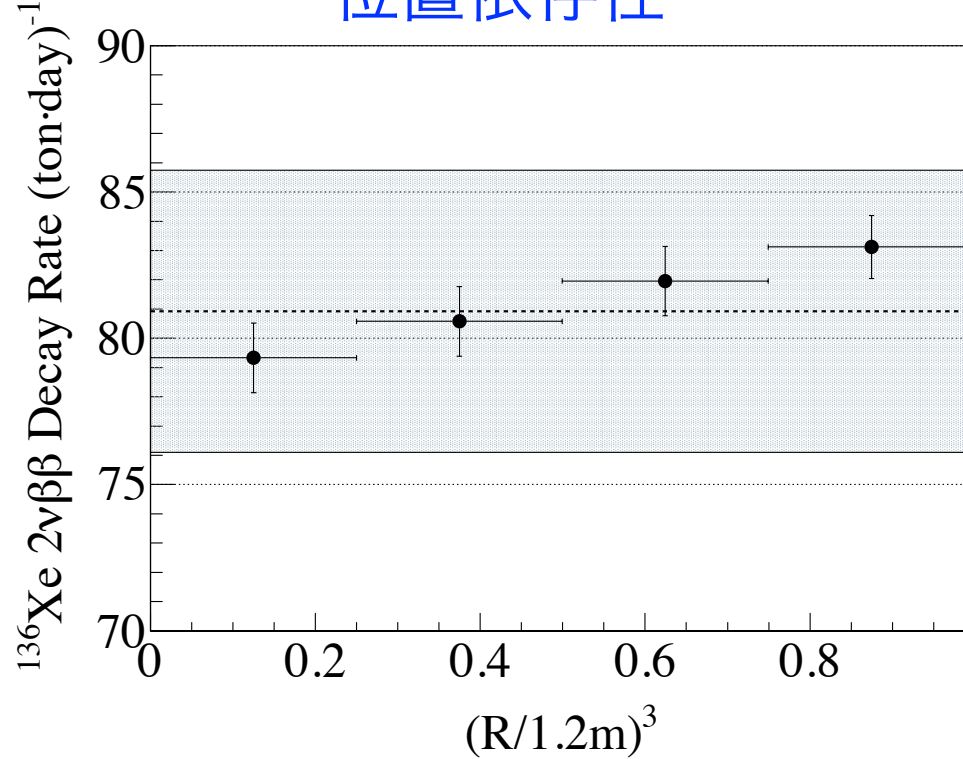


	Systematic Uncertainty
体積の決定精度	5.2%
濃縮 ^{136}Xe	0.05%
Xe濃度	2.8%
Energy Scale	0.3%
Xe-LSのedge effect	0.06%
	5.9%

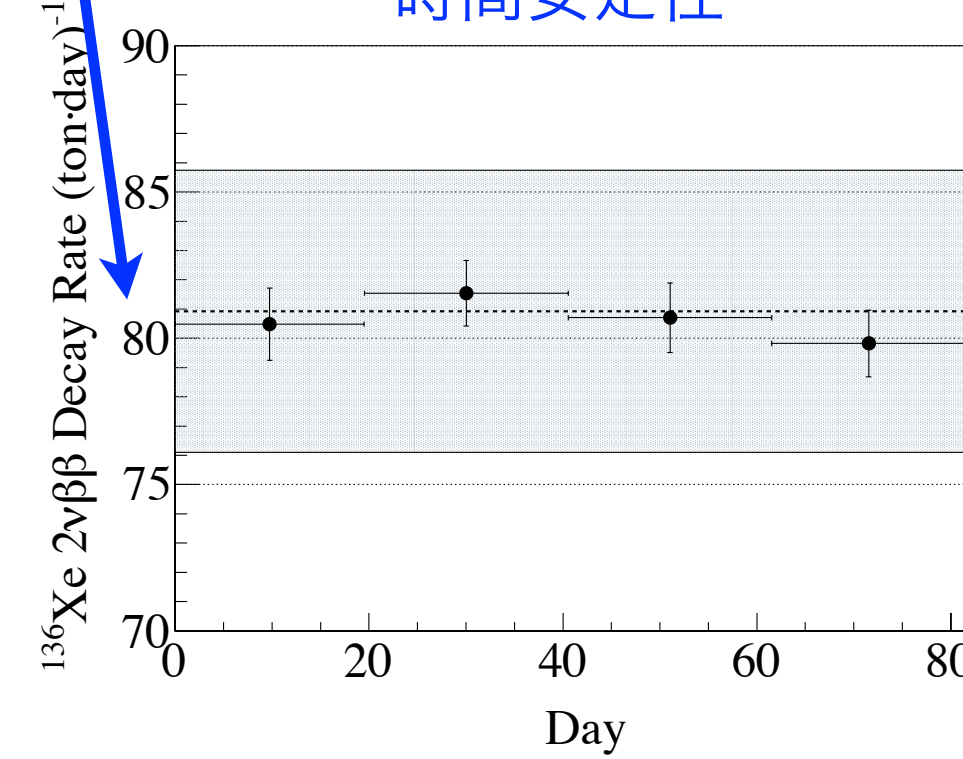
► 有効体積における $2\nu\beta\beta$ の安定性

最適値: $80.9(\text{ton}\cdot\text{day})^{-1}$

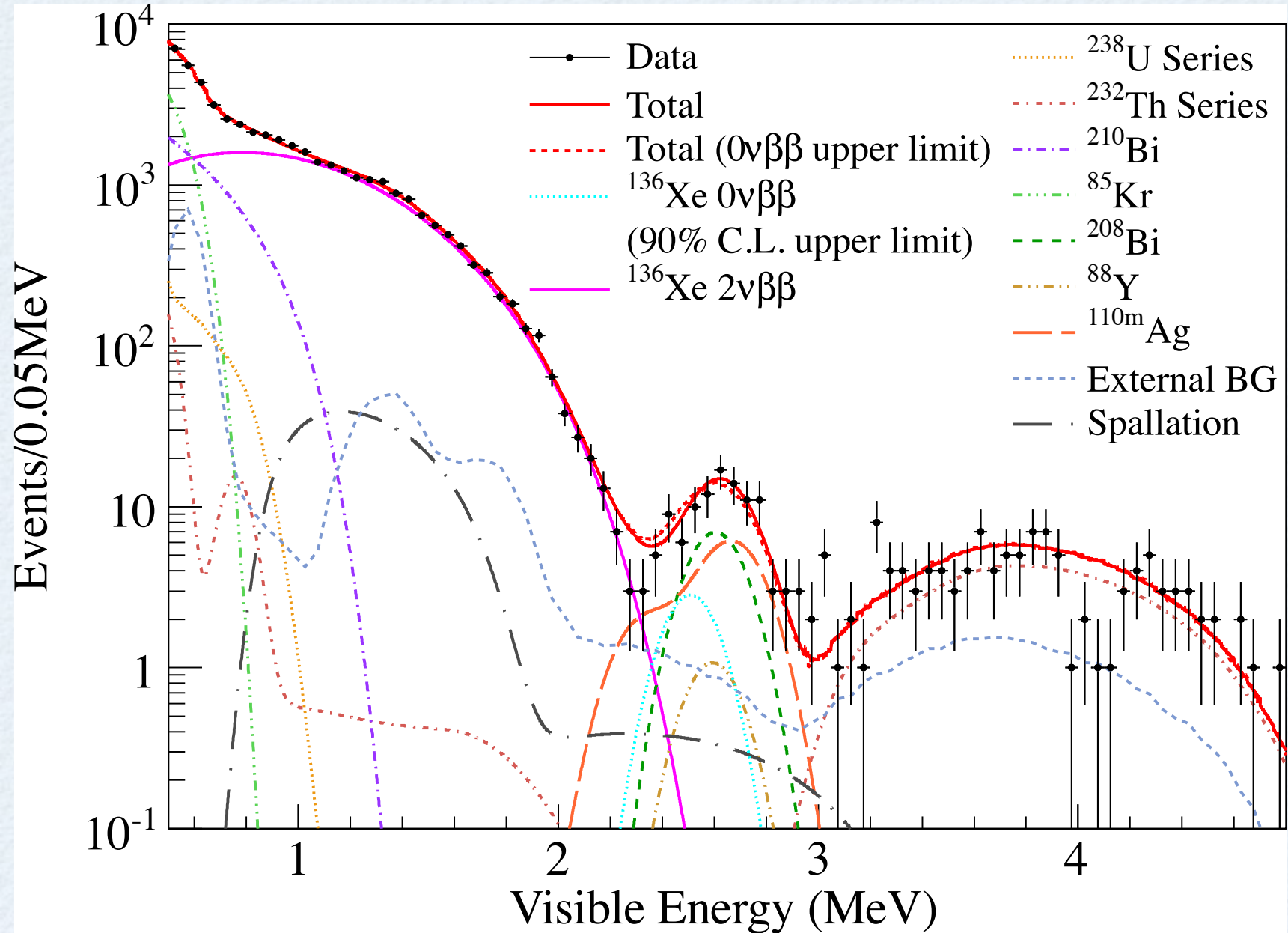
位置依存性



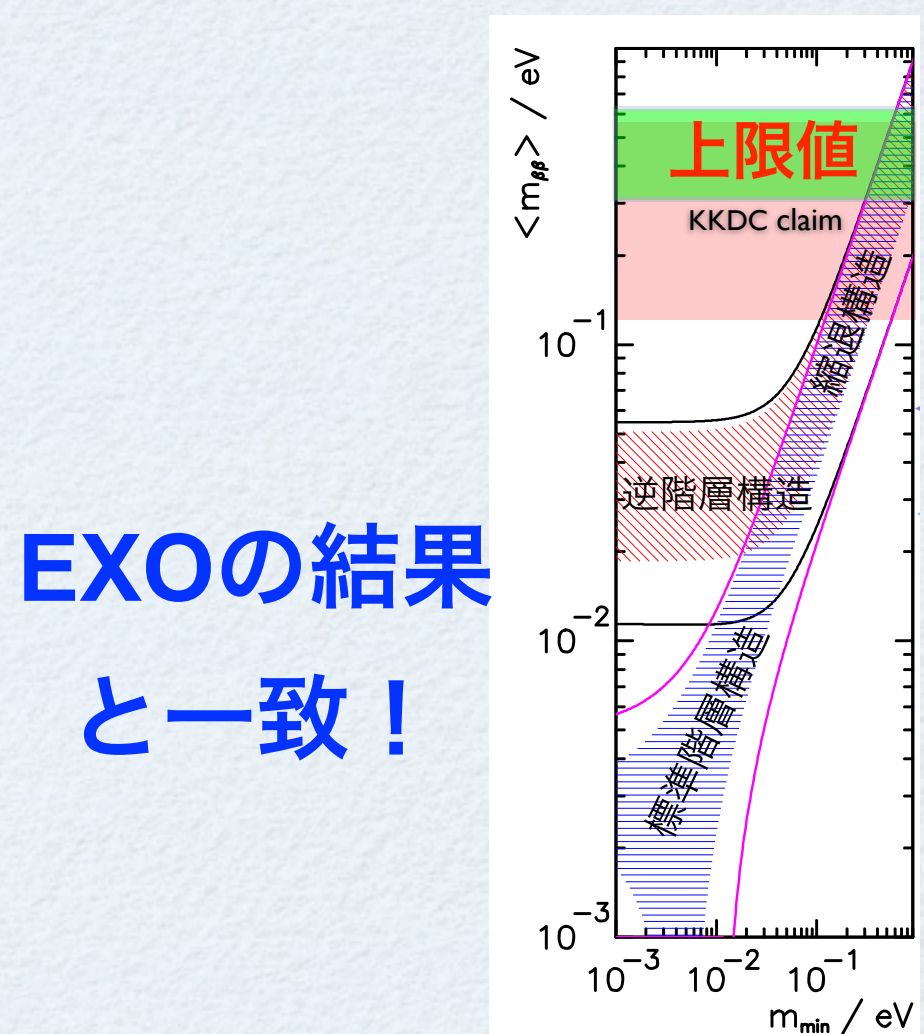
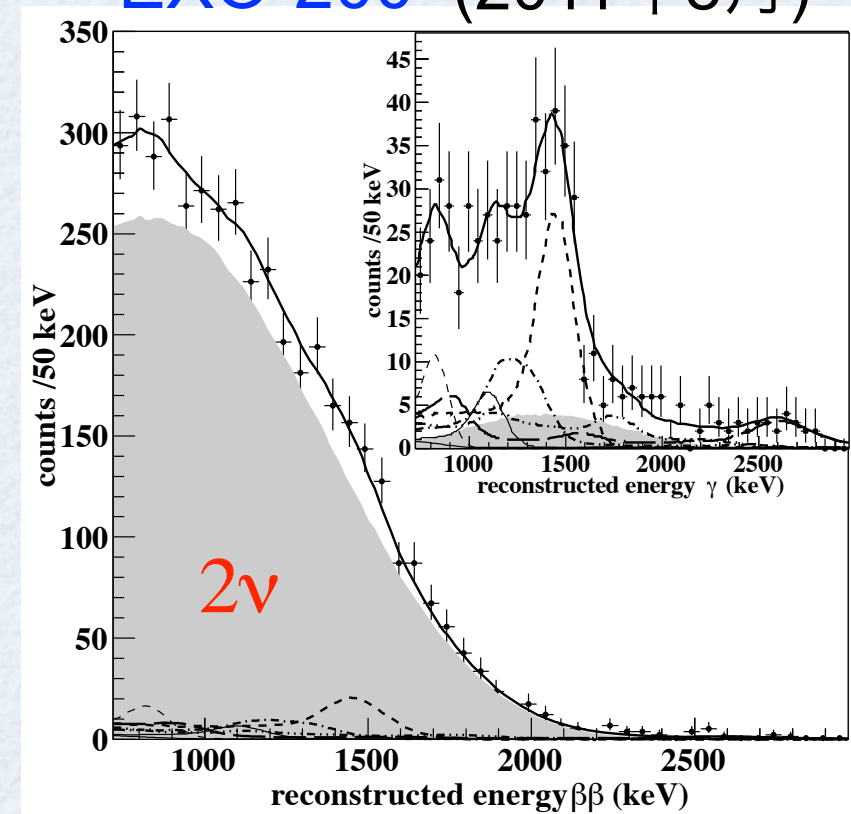
時間安定性



全体のエネルギースペクトル



EXO-200 (2011年8月)



$$T_{1/2}^{2\nu} = 2.38 \pm 0.02(\text{stat}) \pm 0.14(\text{syst}) \times 10^{21} \text{ yr}$$

$$T_{1/2}^{2\nu} = 2.11 \pm 0.24(\text{stat}) \pm 0.21(\text{syst}) \times 10^{21} \text{ yr} \text{ (EXO-200)}$$

$$T_{1/2}^{0\nu} > 5.7 \times 10^{24} \text{ yr} \text{ (90\% C.L.)} \rightarrow \langle m_{\beta\beta} \rangle < 0.3 - 0.6 \text{ eV}$$

QRPA(CCM SRC)モデルを使用 Phys. Rev. C 79 055501(2009)

EXOの結果
と一致！

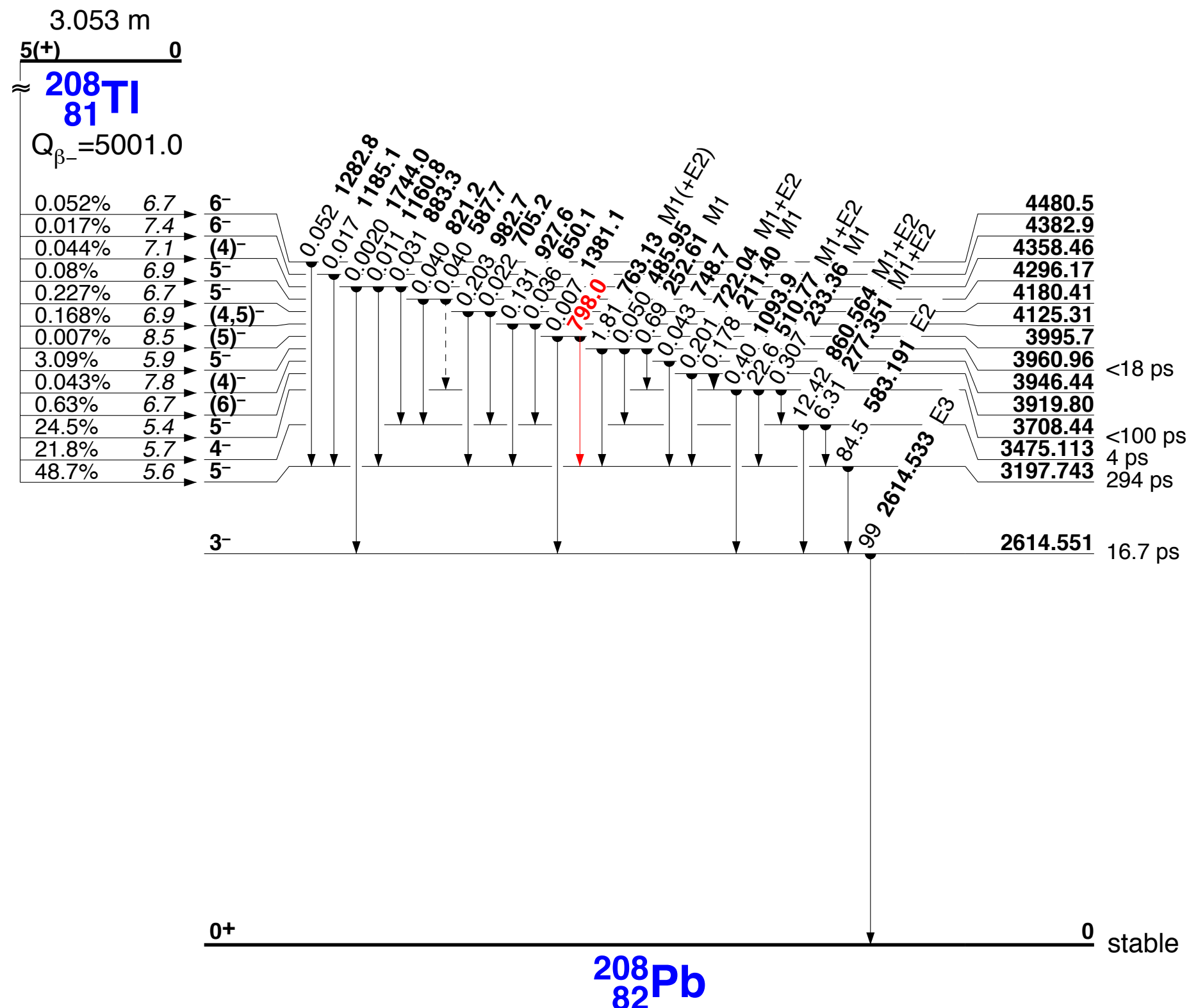
まとめ

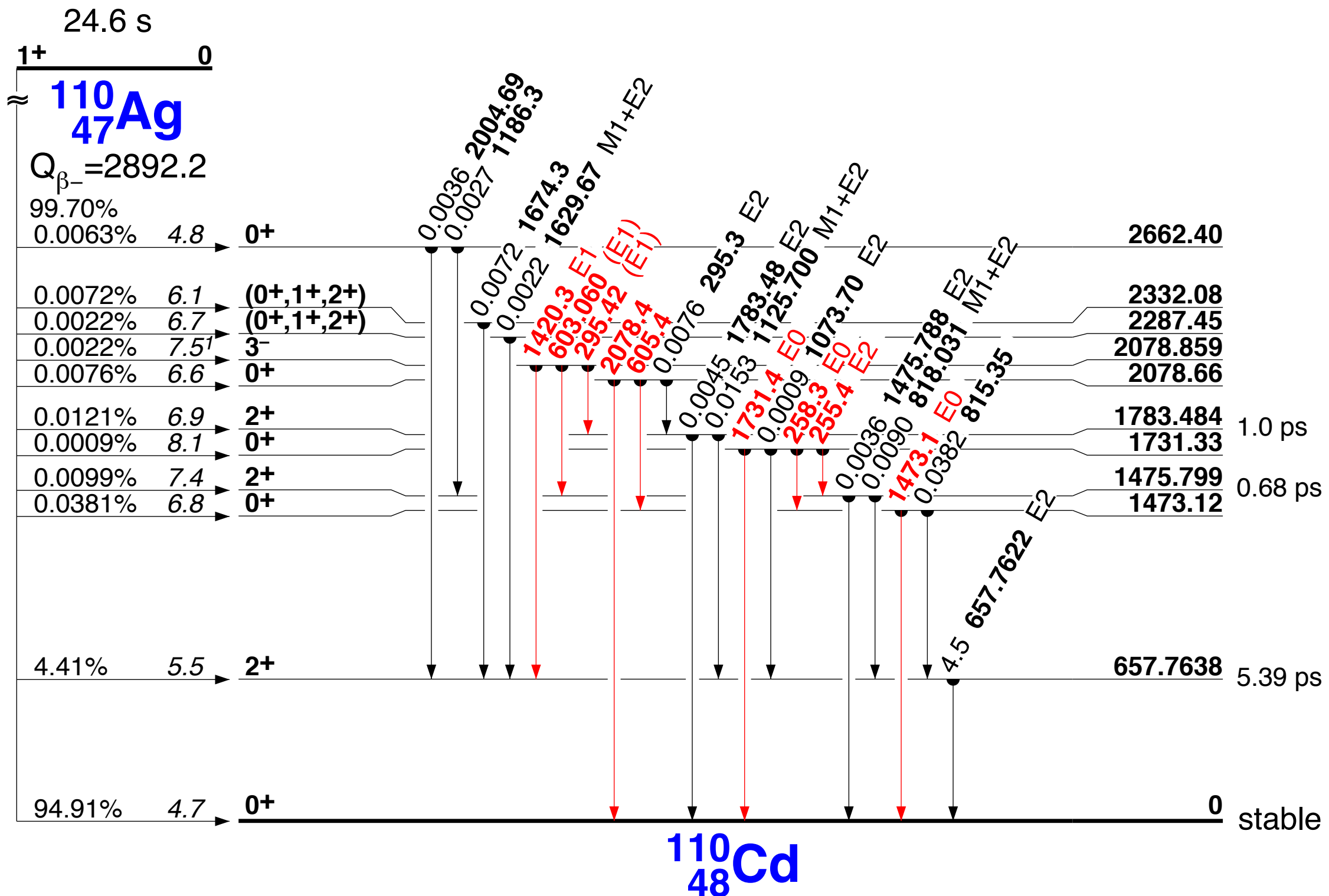
- 9月にカムランド実験開始, 1月に最初の結果を発表
- 高精度な二重ベータ崩壊の半減期を測定
(^{136}Xe を使った実験で世界一)

今後の展望

- バックグラウンドの更なる詳細解析、起源特定
- 2月にはフィルトレーションを実施
- Xe-LSの蒸留、精留等による
バックグラウンド除去の強化

Back Up





249.79 d

117.59

0

 $^{110}_{47}\text{Ag}$ $Q_{\beta^-} = 2892.2$

98.64%

66.8%

0.41%

0.030%

5.4

6+

(5-)

(4+)

(4+)

(4-)

0+

0.023%

10.8

5-

4+

<0.08%

>10.7

30.45%

8.3

6+

3+

(1+,2+)

(0+,1+,2+)

4+

4+

3+

3-

0+

2+

4+

2+

0+

6+

5+

6+

(5-)

(4+)

(4+)

(4-)

0+

0+

0+

0+

0+

0+

0+

0+

0+

0+

0+

0+

0+

0+

0+

0+

0+

0+

0+

0+

0+

0+

0+

0+

0+

0+

0+

0+

0+

0+

0+

0+

0+

0+

0+

0+

0+

0+

0+

0+

0+

0+

0+

0+

0+

0+

0+

0+

0+

0+

0+

0+

0+

0+

0+

0+

0+

0+

0+

0+

0+

0+

0+

0+

0+

0+

0+

0+

0+

0+

0+

0+

0+

0+

0+

0+

0+

0+

0+

0+

0+

0+

0+

0+

0+

0+

0+

0+

0+

0+

0+

0+

0+

0+

0+

0+

0+

0+

0+

0+

0+

0+

0+

0+

0+

0+

0+

0+

0+

0+

0+

0+

0+

0+

0+

0+

0+

0+

0+

0+

0+

0+

0+

0+

0+

0+

0+

0+

0+

0+

0+

0+

0+

0+

0+

0+

0+

0+

0+

0+

0+

0+

0+

0+

0+

0+

0+

0+

0+

0+

0+

0+

0+

0+

0+

0+

0+

0+

0+

0+

0+

0+

0+

0+

0+

0+

0+

0+

0+

0+

0+

0+

0+

0+

0+

0+

0+

0+

0+

0+

0+

0+

0+

0+

0+

0+

0+

0+

0+

0+

0+

0+

0+

0+

0+

0+

0+

0+

0+

0+

0+

0+

0+

0+

0+

0+

0+

0+

0+

0+

0+

0+

0+

0+

0+

0+

0+

0+

0+

0+

0+

0+

0+

0+

0+

0+

0+

0+

0+

0+

0+

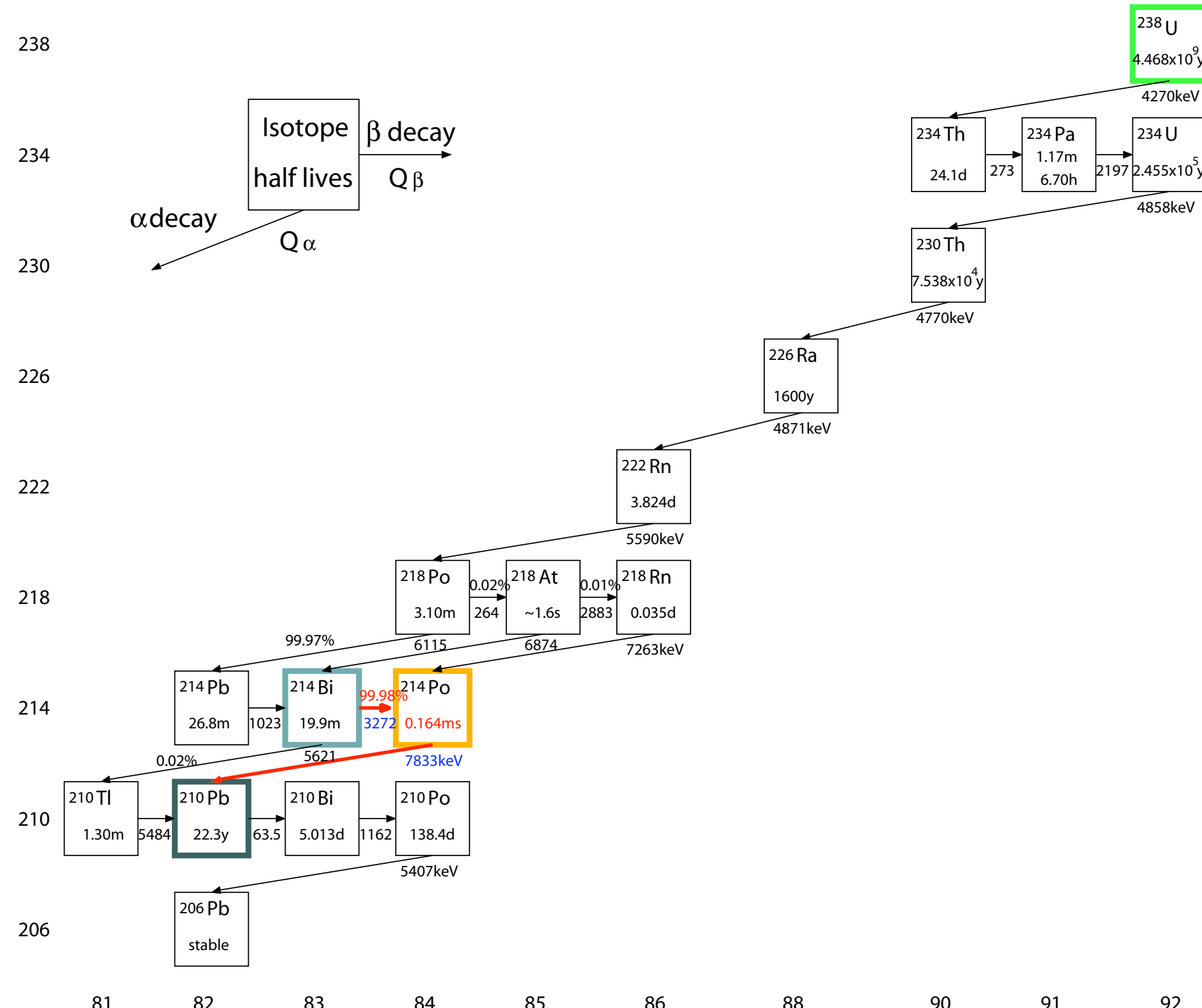
0+

0+

0+

0+

0+



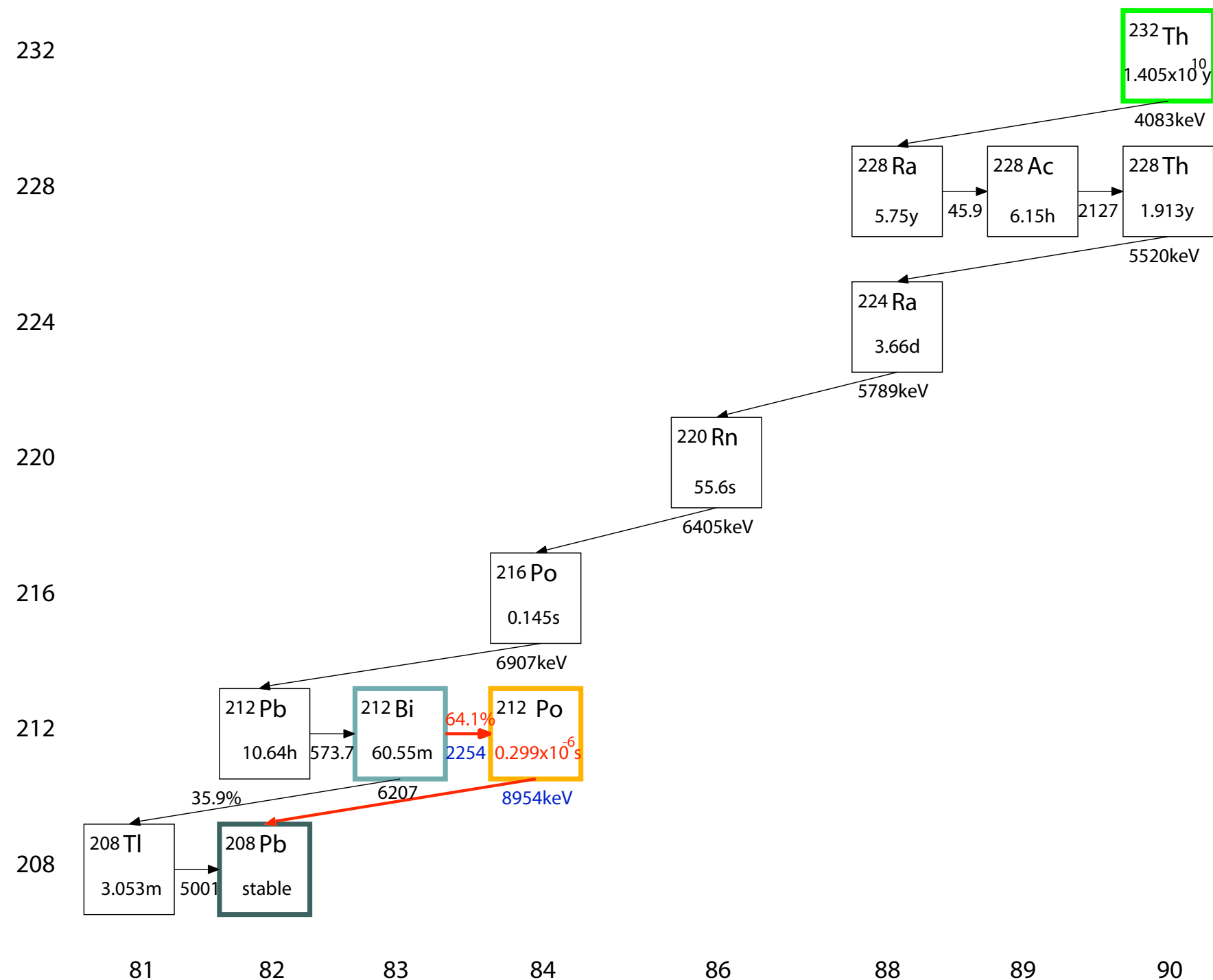


Figure A.2: ^{232}Th decay series